

## საქართველოს ტაძნიკური უნივერსიტეტი

ჰიდრომეცნიროლოგიის ინსტიტუტი

შ03რ0 № IHM-12-08- GTU - 2425

„ვამთკიცება”

დირექტორი

თემ. აკად. დოქტორი

----- 01.06.2012

25 დეკემბერი 2012

### პროექტის დასკვნითი ანგარიში

სათბურის გაზვანის ემისიის შემცირების პოლიციალი  
საქართველოს მიწითაღი სააგრომობილო მაგისტრალის  
რეაგილიტაციის პირობებში

(დასკვნითი ანგარიში)

2010-2012

სამეცნიერო საბჭოს თავჯდომარე

ნ.ბეგალიშვილი

თემის ხელმძღვანელი

ბ.ბერიტაშვილი

პასუხისმგებელი შემსრულებელი

ნ.ბეგლარაშვილი

თბილისი  
2012

## რეგულატი

ანგარიში შეიცავს: 44 გვერდს, 28 ნახაზს, 13ცხრილს და 15ლიტერატურულ  
წყაროს

საკვანძო სიტყვები: კლიმატის ცვლილება, სათბურის გაზები, ავტოტრანსპორტი,  
საავტომობილო გზები, მდგრადი განვითარება.

განხილულია თბილისი-სენაკი-ლესელიძის საავტომობილო გზის რეაბილიტი-  
რებული და სარეაბილიტაციო მონაკვეთები. გამოთვლილია ემიტირებული  
სათბურის გაზების რაოდენობრივი მაჩვენებლები ორივე მონაკვეთისათვის.  
გამოთვლილია სათბურის გაზების ემისიის შემცირების რაოდენობრივი  
მაჩვენებელი რეაბილიტაციის პირობებში და შეფასებულია ეკოლოგიური  
ეფექტურობის პოტენციალი.

## შემსრულებლები

მთავარი მეცნ. თანამშრ.

გეოგრაფიის დოქტორი

ბაკურ ბერიტაშვილი

(თავები 1; 3; 6)

უფროსი მეცნ. თანამშრ.

გეოგრაფიის აკად. დოქტორი

ნოდარ ბეგლარაშვილი

(თავები 2; 4; 5)

წამყვანი სპეციალისტი

მერაბ საჩიაშვილი

(თავი 4.2)

უფროსი სპეციალისტი

მიხეილ ფიფია

(თავი 4.2)

## შინაარსი

რეზიუმე	5
შესაბალი	6
თავი 1. კვლევის თემატიკის აქტუალურობის დასაბუთება	8
თავი 2. საპცლევი საავტომობილო განისტრაციის მოკლე მიმოხილვა და საკვლევი მონაკვეთების შერჩევა	12
თავი 3. კვლევის მეთოდოლოგია	18
თავი 4. საპცლევი რეაბილიტირებული მონაკვეთი	20
4.1. ავტონაკადის ინტენსივობა ნატახტარი-რუისის მონაკვეთზე	23
4.2. მოხმარებული საწვავის ოდენობის განსაზღვრა	24
4.3. ძირითადი სათბურის გაზების ( $\text{CO}_2$ , $\text{N}_2\text{O}$ , და $\text{CH}_4$ ) ემისიების განსაზღვრა	25
თავი 5. საპცლევი სარეაბილიტაციო მონაკვეთი	31
5.1. ავტონაკადის ინტენსივობა ზესტაფონი-სამტრედიის მონაკვეთზე	32
5.2. მოხმარებული საწვავის ოდენობის განსაზღვრა	34
5.3. ძირითადი სათბურის გაზების ( $\text{CO}_2$ , $\text{N}_2\text{O}$ , და $\text{CH}_4$ ) ემისიების განსაზღვრა	35
თავი 6. საიგურის გაზების ემისიის შემცირების კოტენციალის განსაზღვრა	38
დასკვნები	42
ლიტერატურა	44

## რეზიუმე

შეფასდა საქართველოში ცენტრალური ავტომაგისტრალის “თბილისი-სენაკი-ლესელიძის” რეაბილიტაციის პირობებში ავტოტრანსპორტიდან სათბურის გაზების ემისიის შემცირების პოტენციალი.

ცენტრალურ საავტომობილო მაგისტრალზე შერჩეულ იქნა ორი საკვლევი მონაკვეთი – რეაბილიტირებული “ნატახტარი-რუისი” და სარეაბილიტაციო “ზესტაფონი-სამტრედია”.

განისაზღვრა ავტოსატრანსპორტო საშუალებებიდან ემიტირებული სათბურის გაზები, კერძოდ  $\text{CO}_2$ ,  $\text{N}_2\text{O}$  და  $\text{CH}_4$ , მოხმარებული საწვავის ოდენობისა და ავტონაკადის ინტენსივობის მონაცემებზე დაყრდნობით ორივე საკვლევი მონაკვეთებით სარგებლობისას.

შეფასებულ იქნა სათბურის გაზების შემცირების პოტენციალი საავტომობილო გზის რეაბილიტირებული მონაკვეთისათვის. განისაზღვარა საავტომობილო გზის ეკოლოგიური ეფექტურობა.

## შესაგალი

თანამედროვე საზოგადოების მიერ ბუნებრივ გარემოზე ზემოქმედებით გამო-წეული მრავალგვარი უარყოფითი შედეგებიდან ერთ-ერთი მნიშვნელოვანია კლი-მატის ცვლილება.

დედამიწის გარკვეული რეგიონების კლიმატის შესწავლის დასაწყისშივე, ჯერ კიდევ მე-19 საუკუნეში, დადგენილ იქნა კლიმატის მნიშვნელოვანი ცვალებადობა ისტორიულ წარსულში და აქედან გამომდინარეობდა მისი ცვლი-ლების პროგნოზის აუცილებლობა მომავლისათვის.

ადამიანის საქმიანობის ფაქტობრივად ყველა ის სფერო, რომელიც თანამე-დროვე ცხოვრების განუყოფელ ნაწილს შეადგენს, განაპირობებს საობურის გაზების ემისიას. ანთროპოგენური წარმოშობის საობურის გაზის უდიდესი წყაროა წიაღისეული საწვავის მოხმარება. იგი განაპირობებს CO<sub>2</sub>-ის მთლიანი ემისიის დაახლოებით 80%-ს [15].

მიუხედავად იმისა, რომ კლიმატი მყისიერად არ რეგირებს ემისიებზე, საობურის გაზების როლი მკვეთრად იკვეთება კლიმატის ცვლილებაში.

გასული საუკუნის ბოლო მეოთხედი აღინიშნა ეკონომიკის განვითარების და გარემოზე მისი ზემოქმედების პრობლემისადმი საზოგადოების ინტერესის ზრდით. დაიწყო განვითარების ისეთი ოპტიმალური გზების ძიება, როცა საზოგადოების და სახელმწიფოს არსებობისათვის აუცილებელი ელემენტები (ეკონომიკა, ბუნებრივი რესურსები, გარემო და სხვ.) სხვა ელემენტების ინტერესების მაქსიმალური გათვალისწინებით ვითარდება, რათა რაც შეიძლება ნაკლები ზიანი მიაყენონ ერთმანეთს. ასეთი თანაარსებობის საუკეთესო გამოხატულებაა მდგრადი განვი-თარების ცნების წარმოშობა [8], რომელიც გამოხატავს კაცობრიობის შეშფოთებას გარემოზე ადამიანის საწარმოო საქმიანობის უარყოფითი გავლენის გამო და ხაზს უსვამს ამ საქმიანობის გარემოსთან პარმონიზაციის მიმართულებით წარმართვის აუცილებლობას. მდგრადი განვითარების კონცეფცია გულისხმობს ადამიანის

საქმიანობის ისეთ რეჟიმს, რომელიც, ერთის მხრივ, აუმჯობესებს მის მატერიალურ მდგომარეობას და მეორეს მხრივ არ უქმნის საფრთხეს მომავალს. იგი განიხილავს სამ ძირითად კომპონენტს: ბუნებრივ გარემოს, ეკონომიკასა და სოციალურ გარემოს და მათგან შედგენილი ტრიადის მდგრადობას [15].

ვლინდება გარკვეული პროგრესი მდგრადი განვითარების მიმართულებით: ცალკეულ შემთხვევებში იქმნება მდგრადი განვითარების კომისიები, ამაღლდა ცნობიერების დონე, ძალაში შევიდა კლიმატის ცვლილების გარემოსდაცვითი კონვენციები, გაჩნდა და დაინერგა მრავალი გარემოსდაცვითი ინიციატივა და პროექტი, ამაღლდა საზოგადოების პასუხისმგებლობის განცდა და სხვ.

არსებულ საერთაშორისო ვალდებულებებს შეუძლიათ რამდენადმე შეამცირონ ემისიების ზრდა. ერთ-ერთი ასეთია კლიმატის ცვლილების ჩარჩო-კონვენცია [2], რომელიც ძალაში შევიდა 1992 წელს და რომლის უმთავრესი მიზანია ატმოსფეროში სათბურის გაზების კონცენტრაციების სტაბილიზაცია იმ დონეზე, რომელიც გამორიცხავს კლიმატურ სისტემაში საშიშ ანთროპოგენურ ჩარევას და ეს დონე მიღწეულ უნდა იქნას დროის ისეთ მონაკვეთში, რომელიც საფრთხეს არ შეუქმნის მდგრად განვითარებას [15].

## თავი 1

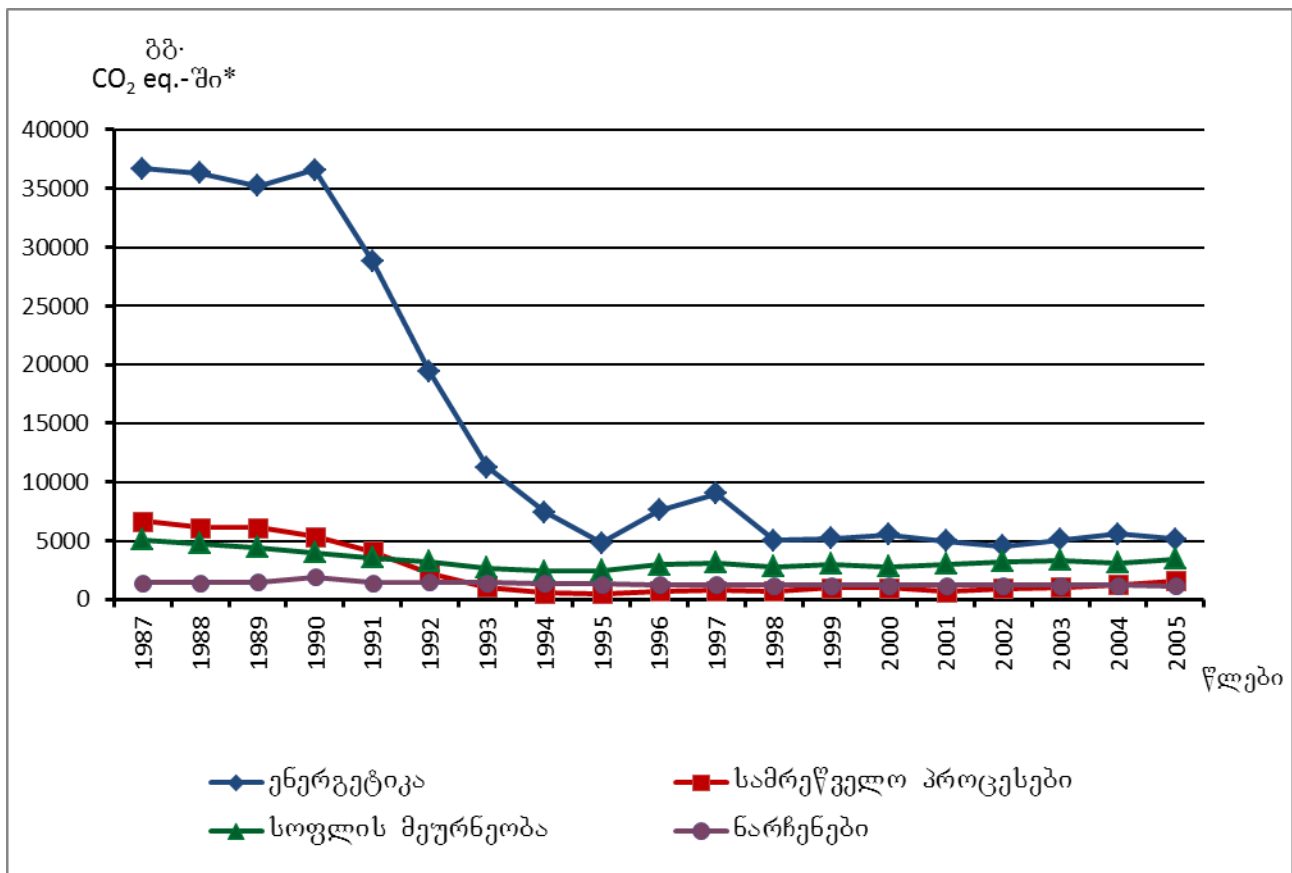
### პლეზის თემატიკის არტურობის დასაბუთება

1992 წლიდან, გაეროს კლიმატის ცვლილების ჩარჩო-კონვენციის მიღების შემდეგ, მსოფლიომ აქტიური საქმიანობა დაიწყო ამ პრობლემასთან დაკავშირებული ამოცანების გადასაჭრელად.

ენერგეტიკის სექტორი ძირითადად მოიცავს ემისიებს, გამოწვეულს სტაციონარულ და მოძრავ წყაროებში საწვავის წვით. გლობალურად, ენერგეტიკის სექტორი საობურის გაზების ანთროპოგენური ემისიების მთავარ წყაროს წარმოადგენს. მისი წილი საობურის გაზების მთლიან ემისიებში CO<sub>2</sub>-ის ექვივალენტში შეადგენს დაახლოებით 75%-ს. ნახშირორჟანგის ანთროპოგენური ემისიების 90% ამ სექტორზე მოდის. მეთანის ემისიებში ამ სექტორის წილი შედარებით ნაკლებია და შეადგენს 49%-ს, აზოტის ქვეუანგისა კი – მხოლოდ 6%-ია. საწვავის წვისას წარმოქმნილი გაზებიდან ყველაზე მნიშვნელოვანი საობურის გაზია CO<sub>2</sub> (ნახშირორჟანგი) საწვავის წვისას გამოიყოფა ასევე ისეთი საობურის გაზები როგორიცაა N<sub>2</sub>O (აზოტის ქვეუანგი) და CH<sub>4</sub>(მეთანი) [5].

გლობალური კლიმატის ცვლილების გამომწვევი ერთ-ერთი ძირითადი მიზეზი – საობურის გაზების ემისია საქართველოს ტერიტორიიდან ჯერ-ჯერობით უმნიშვნელოა და გლობალური ემისიების 0.1%-ზე ნაკლებს შეადგენს. მიუხედავად ამისა, 1996 წლიდან ქვეყანა აქტიურად მონაწილეობს გაეროს კლიმატის ცვლილების კონვენციის მოთხოვნათა შესრულებაში, რომელთაგან ერთ-ერთი გულისხმობს კონვენციაში მონაწილე ყველა ქვეყნისაგან შეძლებისდაგვარი წვლილის შეტანას საობურის გაზების ემისიების შემცირებაში.

ნახაზზე 1 მოცემულია საქართველოში საობურის გაზების ემისიების ტრენდი 1987-2005 წლებისათვის ძირითადი სექტორებისათვის: ენერგეტიკა, სამრეწველო პროცესები, სოფლის მეურნეობა და ნარჩენები [5].



ნახ. 1. სათბურის გაზების ემისიების ტრენდი 1987-2005 წლებში (გგ. CO<sub>2</sub> eq.-ში)

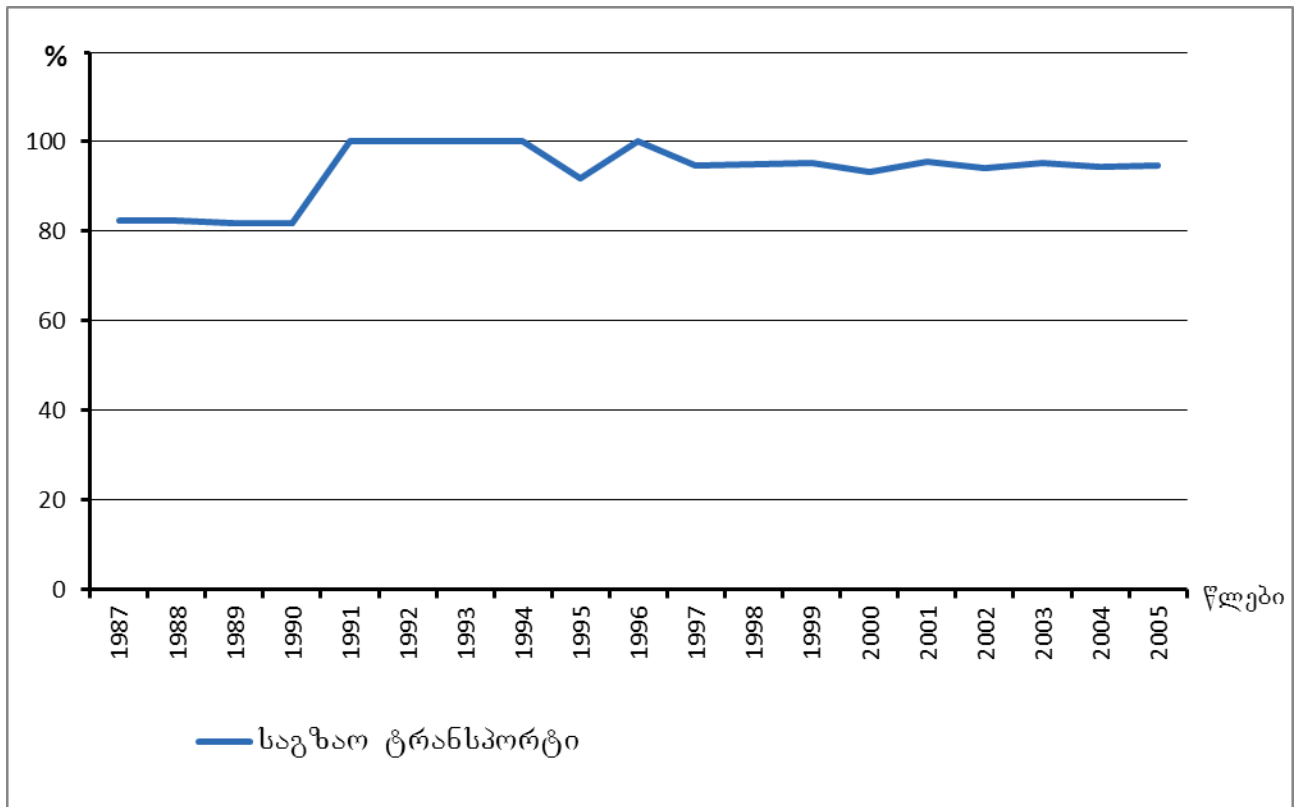
შენიშვნა\* 1გგ=10<sup>3</sup>ტ=10<sup>6</sup>კგ-10<sup>9</sup>გ; 1ტ=10<sup>-3</sup>გგ.

როგორც ნახაზიდან ჩანს სათბურის გაზების ემისიები ენერგეტიკის სექტორიდან მაღალი მაჩვენებლით გამოირჩევა.

ტრანსპორტის სექტორი საქართველოში ისევე, როგორც მსოფლიოს უმეტეს ქვეყნებში სათბურის გაზების ერთ-ერთი უმნიშვნელოვანები ემიტორია და ამიტომაც ამ სექტორიდან ემისიების ინგენტარიზაციას და შემამცირებელი ღონისძიებების გატარებას მთელს მსოფლიოში დიდი ყურადღება ეთმობა. ევროკავშირის გადაწყვეტილებით 2020 წლისთვის სათბურის გაზების ემისია ტრანსპორტის სექტორიდან 10%-ით უნდა შემცირდეს.

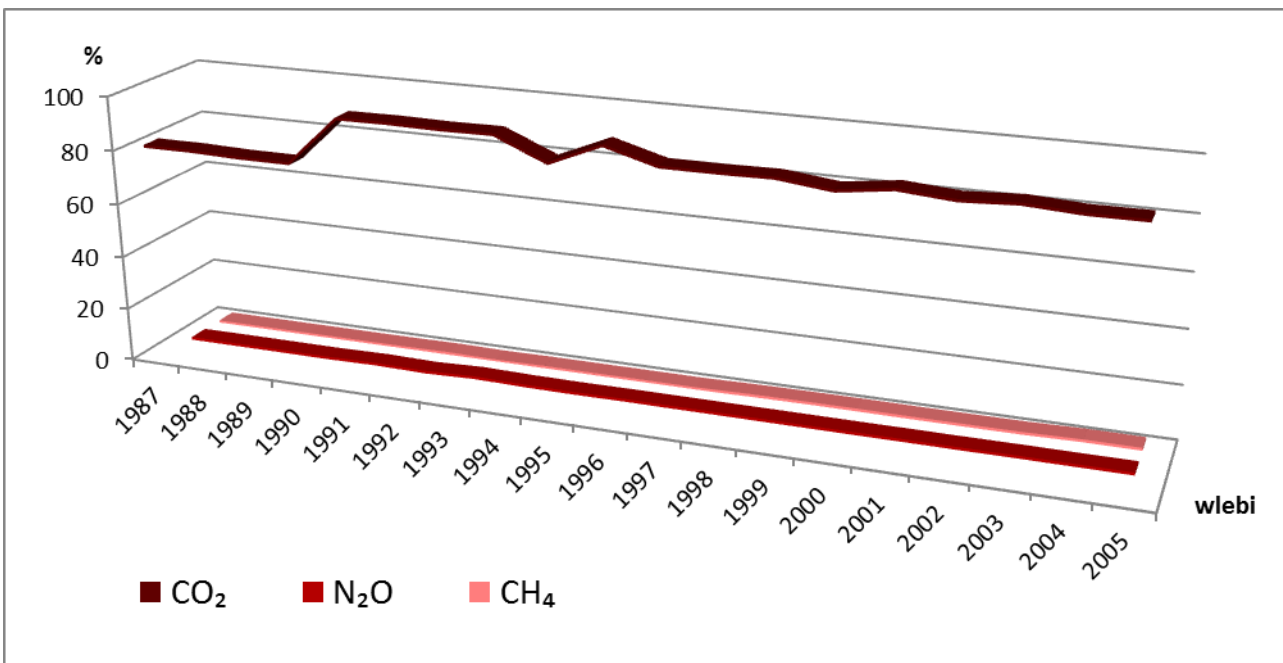
ტრანსპორტის სექტორის ემისიებში ყველაზე დიდი წვლილი შეაქვს ემისიებს საგზაო ტრანსპორტიდან. ამის მიზეზად შეიძლება ჩაითვალოს მსუბუქი ავტომობილების პარკის ზრდა, რაც ძირითადად ევროპიდან იმპორტირებულ

მეორადი ავტომობილების ხარჯზე. ასევე ეკონომიკის გამოცოცხლება და შესაბამისად სატვირთო გადაზიდვების მოცულობის ზრდა ქვეყანაში. ნახაზზე 2 ნაჩვენებია ტრანსპორტის სექტიორში საგზაო ტრანსპორტიდან სათბურის გაზების ემისიების ტრენდის პროცენტული მაჩვენებელი წლების მიხედვით.



ნახ. 2. ტრანსპორტის სექტიორში საგზაო ტრანსპორტიდან ძირითადი სათბურის გაზების ემისიების ტრენდი (%).

1991-1994 წლებში საგზაო ტრანსპორტის მაქსიმალურად მაღალი პროცენტული მაჩვენებელი ავიაციის თითქმის უფუნქციონ დარჩენით აიხსნება. ძირითადი სათბურის გაზების ემისიების პროცენტული მაჩვენებელი საგზაო ტრანსპორტიდან 1987-2005 წლებისათვის ნაჩვენებია ნახაზზე 3 [5].



ნახ. 3. ძირითადი სათბურის გაზების ემისიების პროცენტული მაჩვენებელი საგზაო ტრანსპორტიდან 1987-2005 წლებისათვის.

საავტომობილო გზების მახასიათებლები 60-80%-ით განსაზღვრავენ ეპოლოგიურ ეფექტურობას [7], ამიტომ ცენტრალური ავტომაგისტრალის მოდერნიზაცია მნიშვნელოვანი ნაბიჯია სათბურის გაზების შემცირების დონისძიებათა შორის.

## თავი 2

### ცხრილური სააგრომობილო მაგისტრალის მოკლე მიმოხილვა და საპლაზო მონაბეჭდის შერჩევა

დღეისათვის მეცნიერული და ტექნოლოგიური მიღწევები სააგრომობილო გზების თანამედროვე მდგომარეობაზეც აისახება. ამავდროულად, მოდერნიზებული ავტობანი, გამართული ინფრასტრუქტურით, ერთ-ერთი წინ გადადგმული ნაბიჯია კლიმატის ცვლილების შერბილებისაკენ მიმართულ ღონისძიებათა შორის, რადგან ავტოტრანსპორტი ენერგეტიკის სექტორის ფუნდამენტური შემადგენელი ნაწილია და წარმოადგენს საობურის გაზებით ატმოსფერული ჰაერის დაბინძურების ერთ-ერთ მნიშვნელოვან წყაროს.

ყოველივე ზემოხსენებულიდან გამომდინარე წინამდებარე პროექტში ყურადღებას ვამახვილებთ საქართველოში ცენტრალური ავტომაგისტრალის მოდერნიზაციის და რეაბილიტაციის პირობებში საობურის გაზების ემისიის შესაძლო შემცირების პოტენციალზე.

ჩვენი ამოცანაა თბილისი-სენაკი-ლესელიძის ავტომაგისტრალის მოდერნიზაციის პირობებში საობურის გაზების ემისიის შემცირების პოტენციალის განსაზღვრა და მისი ეკოლოგიური ეფექტურობის შეფასება.

საქართველოს გეოგრაფიული მდებარეობა და რელიეფის მრავალფეროვანი თავისებურებები ქვეყნაში განსაზღვრავს სააგრომობილო გზების სირთულეს და სატრანზიტო დერეფნების არსებობას. საგზაო ინფრასტრუქტურის როლი ქვეყნის ეკონომიკის განვითარებაში ერთ-ერთი პრიორიტეტულია. სატრანზიტო ტვირთბრუნვა ქვეყნაში 2 მილიარდ აშშ დოლარზე მეტია [6]. ამიტომ საქართველოს როგორც სატრანზიტო ქვეყნის პოტენციალის ამაღლებისა და სატრანზიტო სააგრომობილო გზების სრულად გამოყენებისთვის სატრანსპორტო დერეფნის რეაბილიტაცია და მოდერნიზაცია წინ გადადგმულ ნაბიჯად შეიძლება იყოს განხილული. ნახაზზე 4 წარმოდგენილია როგორც ტრანსასაზღვრო მნიშვნელობის ასევე შიდასახელმწიფო მნიშვნელობის სააგრომობილო გზები საქართველოში.



**ნახ. 4. ძირითადი შიდასახელმწიფო და ტრანსსაზღვრო მნიშვნელობის საავტომობილო გზები საქართველოში**

ჩვენს მიერ შერჩეული საკვლევი საავტომობილო გზა “თბილისი-სენაკი-ლესელიძე” ტრანსსაზღვრო მნიშვნელობისა და საერთაშორისო მაგისტრალის E-60-ის შემადგენელი ნაწილია.

უნდა აღინიშნოს, რომ ბოლო პერიოდში საქართველოში საავტომობილო გზების ტექნიკური მდგომარეობა მკვეთრად გაუმჯობესდა, რასაც გარკვეული წვლილი შეაქვს ქვეყნის ტერიტორიიდან საობურის გაზების ემისიის შემცირებაში. ქვემოთ მოცემულ რუკაზე (ნახ.5) წარმოდგენილია საავტომობილო გზების როგორც რეაბილიტირებული, ასევე სარეაბილიტაციო მონაკვეთები ქვეყნის მასშტაბით.



**ნახ. 5. საქართველოს სააგრომობილო გზების რეაბილიტირებული და სარეაბილიტაციო მონაკვეთები.**

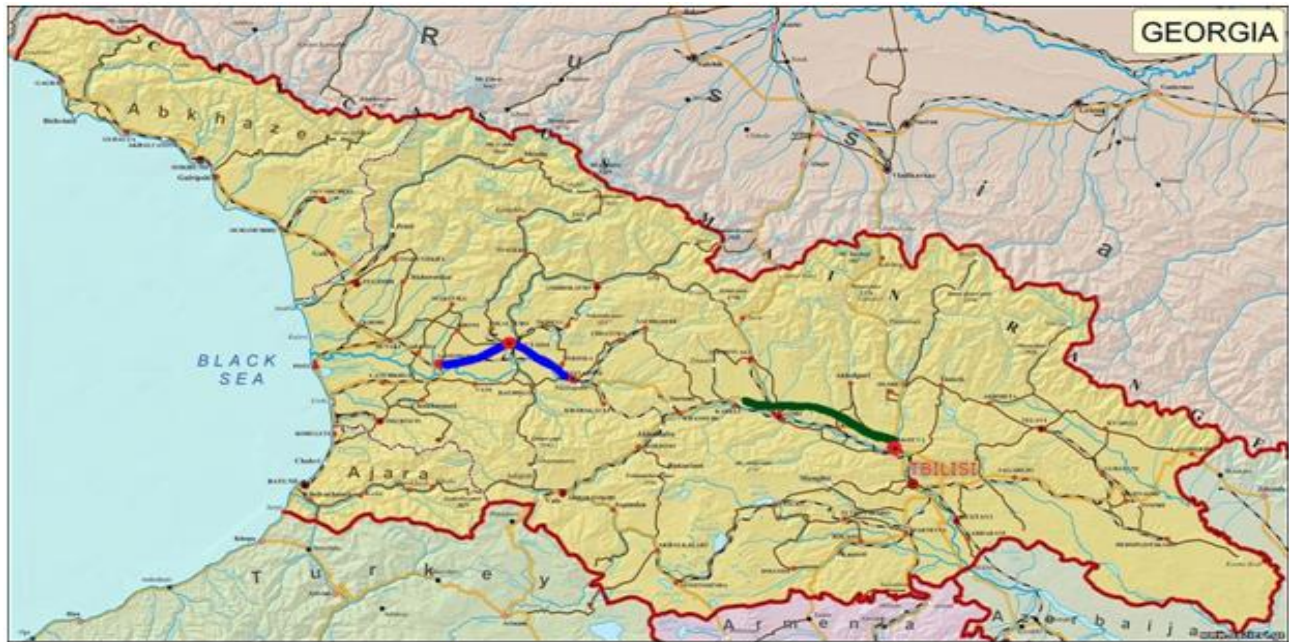
ცენტრალური ავტომაგისტრალის რეაბილიტაცია თანამედროვე ავტობანის მშენებლობით გამოიხატა, რომელიც 2006 წლის 15 მარტს დაიწყო და ჯერ კიდევ მშენებლობის პროცესშია. საპროექტო დოკუმენტაციის მიხედვით პროექტი იყოფა ცალკეულ მონაკვეთებად და დღეის მონაცემებით ავტობანის მშენებლობა დასრულებულია სოფელ რუისამდე.

ცენტრალური ავტომაგისტრალიდან საობურის გაზების ემისიების შესაფასებლად ჩვენს მიერ შერჩეულ იქნა გზის ოგონიც რეაბილიტირებული, ასევე სარეაბილიტაციო მონაკვეთები, რათა გაგვესაზღვრა საობურის გაზების შემცირების პოტენციალი ცენტრალური ავტომაგისტრალის რეაბილიტაციის პირობებში.

ავტომაგისტრალის რეაბილიტირებული ნაწილიდან შევარჩიეთ ნატახტარი-რუისის მონაკვეთი, ხოლო სარეაბილიტაციო ნაწილიდან ზესტაფონი-სამტრედიის მონაკვეთი.

საკვლევი მონაკვეთების შერჩევისას ვიხელმძღვანელეთ რიგი პირობებით, ოგონიცაა: კილომეტრაჟი, ქვეფნილი ზედაპირი და ავტონაკადის ინტენსივობა.

ცენტრალური ავტომაგისტრალზე შერჩეული საკვლევი მონაკვეთები  
წარმოდგენილ იქნა ნახაზზე 6.



— სარეაბილიტაციო ზესტაფონი-რუისის მონაკვეთი  
— რეაბილიტირებული ნატანტარი-რუისის მონაკვეთი

ნახ. 6. გზის საკვლევი მონაკვეთები საქართველოში ცენტრალურ  
ავტომაგისტრალზე

თავი 3

აგტოტრანსპორტიდან სათბურის ბაზების  
ემისიის ბაზოსათვლელი თანამედროვე მეთოდოლოგიები

### 3.1. IPCC პროგრამის მეთოდოლოგიები

საგზაო ტრანსპორტიდან CO<sub>2</sub>-ის ემისიების გამოსათვლელად IPCC (კლიმატის ცვლიების სამთავრობათშორისო საბჭო) 1996 წლის მეთოდური სახელმძღვანელო გვთავაზობს ორ მიდგიმას: დონე 1 და დონე 2.

დონე 1 ერთი ანუ “დაღმავალი მიდგომა” ემისიებს განსაზღვრავს ფორმულით:

$$\text{ემისიები} = \sum_j (\text{ემისიების ფაქტორი } j \cdot \text{მოხმარებული საწვავი } j) - \text{შენახული ნახშირბადი} \cdot \text{დაუანგული ფრაქცია } j \cdot 44/12$$

სადაც  $j$  მიუთითებს საწვავის ტიპს.

ალტერნატიული დონე 2 ანუ “აღმავალი მიდგომა” ემისიებს გამოითვლის ორ ნაბიჯად: პირველი ნაბიჯია სატრანსპორტო საშუალების მიერ მოხმარებული საწვავის რაოდენობის გამოთვლა:

$$\text{საწვავის მოხმარება}_{ij} = n_{ij} \cdot k_{ij} \cdot e_{ij},$$

სადაც  $i =$  სატრანსპორტო საშუალების ტიპი,

$j =$  საწვავის ტიპი,

$n =$  სატრანსპორტო საშუალების რაოდენობა,

$k =$  სატრანსპორტო საშუალების მიერ გავლი მანძილი კილომეტრებში,

$e =$  ყოველ გავლილ კილომეტრზე საშუალოდ დახარჯული საწვავი ლიტ-რებში.

მეორე ეტაპი  $\text{CO}_2$ -ის ემისიის გამოთვლაა მოხმარებული საწავის რაოდენობის გამრავლებით საწავის და ავტომობილის ტიპების შესატყვის ემისიის ფაქტორზე.

$$\text{ემისები} = \Sigma i \Sigma j (\text{ემისიის ფაქტორი } ij \cdot \text{საწავის მოხმარება } ij) [5,6,13]$$

### 3.2. COPERT პროგრამის მეთოდოლოგია

საგზაო ტრანსპორტიდან საობურის გაზების ემისიის გამოსათვლელად გამოიყენება აგრეთვე მესამე დონე, რისთვისაც სარგებლობენ პროგრამა COPERT-ით (Computer Programme to Calculate Emissions from Road Transport), რომელიც შემუშავებულია ევროპის გარემოს დაცვის სააგენტოს მიერ და ფართოდ გამოიყენება ევროპაში.

კლიმატის ცვლილების კონკრეტიის მიმართ საქართველოს მეორე ეროვნული შეტყობინების პროცესში შედარდა IPCC პროგრამითა და COPERT-ით გამოთვლილი ემისიების შედეგები, რომელიც მოცემულია ცხრილში [5].

ცხრ. 1. საგზაო ტრანსპორტიდან IPCC პროგრამით და COPERT-ით გამოთვლილი სათბურის გაზების ემისიების შედარება 2000-2005 წლებისათვის, (გგ) [6]

გაზი	პროგრამა	წლები					
		2000	2001	2002	2003	2004	2005
<b>CO<sub>2</sub></b>	IPCC	1013.9	1085.1	1087.4	1080.9	1147.8	1147.5
	COPERT	1043.9	1110.1	1113.3	1106.0	1173.9	1173.8
	გადახრა,%	-2.9	-2.3	-2.4	-2.3	-2.2	-2.3
<b>CH<sub>4</sub></b>	IPCC	0.23	0.27	0.27	0.27	0.30	0.29
	COPERT	0.19	0.20	0.20	0.1	0.21	0.23
	გადახრა,%	19.0	29.8	29.8	34.8	35.3	23.1
<b>N<sub>2</sub>O</b>	IPCC	0.010	0.009	0.009	0.009	0.010	0.010
	COPERT	0.148	0.150	0.151	0.147	0.162	0.176
	გადახრა,%	-174.7	-177.4	-177.5	-176.9	-176.7	-178.5
<b>სულ CO<sub>2</sub> ექვ.</b>	IPCC	1021.8	1093.6	1095.9	1089.4	1157.2	1156.7
	COPERT	1093.8	1160.8	1164.3	1155.6	1228.5	1233.2
	გადახრა,%	<b>-6.8</b>	<b>-6.0</b>	<b>6.1</b>	<b>-5.9</b>	<b>-6.0</b>	<b>-6.4</b>

როგორც ამ ცხრილიდან ჩანს, განხილული ორი პროგრამით გამოთვლილი ნახშირორჟანგის ემისიები განსხვავდება უმნიშვნელოდ – გადახრა 2-3%-ის ფარგლებშია, ხოლო მთლიანად ყველა სახის ჯამურ ემისიებში განსხვავება არ აღემატება 7%-ს.

ცხრილში 2 მოყვანილია IPCC-ის მონაცემებით სათბურის გაზების CO<sub>2</sub>-ის, N<sub>2</sub>O-ს და CH<sub>4</sub>-ის ხვედრითი მაჩვენებლები ბენზინისა და დიზელის საწვავისათვის [10].

ცხრილი 2. CO<sub>2</sub>, N<sub>2</sub>O და CH<sub>4</sub> ემისიის სტანდარტული ხვედრითი მაჩვენებლები ბენზინისა და დიზელის საწვავისათვის

საწვავი	ხვედრითი წონა (კგ/ლ)	სათბურის გაზის ხვედრითი ემისიები (კგ/კბ)		
		CO <sub>2</sub>	N <sub>2</sub> O	CH <sub>4</sub>
ბენზინი	0.73	2.2	0.05	0.001
დიზელი	0.83	2.613	0.06	0.0002

თითოეულ ძირითად სათბურის გაზსს ინდივიდუალური წვლილი შეაქვს “სათბურის ეფექტში”. გაზების ნარევის წვლილი კლიმატის ცვლილებაში დამოკიდებულიაიმაზე, თუ რა გაზებო და რა პროპორციით შედიან ნარევში. საერთაშორისო სტანდარტების მიხედვით სათბურის გაზების ემისიების კონტროლისათვის შემოტანილია სათბურის გაზების უნარის დასახასიათებელი ერთეული - გლობალური დათბობის პოტენციალი – გდპ (Global Warming Potential - GWP), რომელიც გამოსახავს კონკრეტული გაზის ემისიებს CO<sub>2</sub>-ის ექვივალენტში, რის თანახმადაც აზოტის ქვევანგი (N<sub>2</sub>O) 310-ჯერ მეტ სითბოს ჩაიჭერს ვიდრე ნახშირორჟანგი ანუ 1კგ. CO<sub>2</sub>-ის ექვივალენტი N<sub>2</sub>O უდრის 1კგ CO<sub>2</sub>x310, ხოლო CH<sub>4</sub> 21-ჯერ მეტს გლობალური დათბობის პოტენციალი შეიძლება გამოისახოს როგორც დათბობის სრული ეფექტი გარკვეული დროის (50, 100, 500წელი) განმავლობაში. სათბურის გაზების გლობალური დათბობის პოტენციალის ეს სიდიდეები ნაჩვენებია ცხრილში 3. [5].

ცხრილი 3. გლობალური დათბობის პოტენციალის სიდიდეები ძირითადი სათბურის გაზებისათვის

სათბურის გაზი	სიცოცხლის ხანგრძლივობა, წელი	100-წლიანი გდპ
CO <sub>2</sub>	ცვლადი (50-200)	1
N <sub>2</sub> O	12±3	21
CH <sub>4</sub>	120	310

## თავი 4

### საკვლევი რეაგილიტირებული მონაკვეთი ნატახტარი-რუსი

საკვლევი ნატახტარი-რუსის მონაკვეთის რეაბილიტაცია 2006 წელს დაიწყო ეტაპობრივად მიმდინარეობს ცალკეული მონაკვეთების (ნატახტარი-ადაიანი 16 კმ, ადაიანი-იგოეთი 12 კმ, იგოეთი-სვენეთი 25 კმ, სვენეთი-რუსი 16 კმ) მშენებლობა.

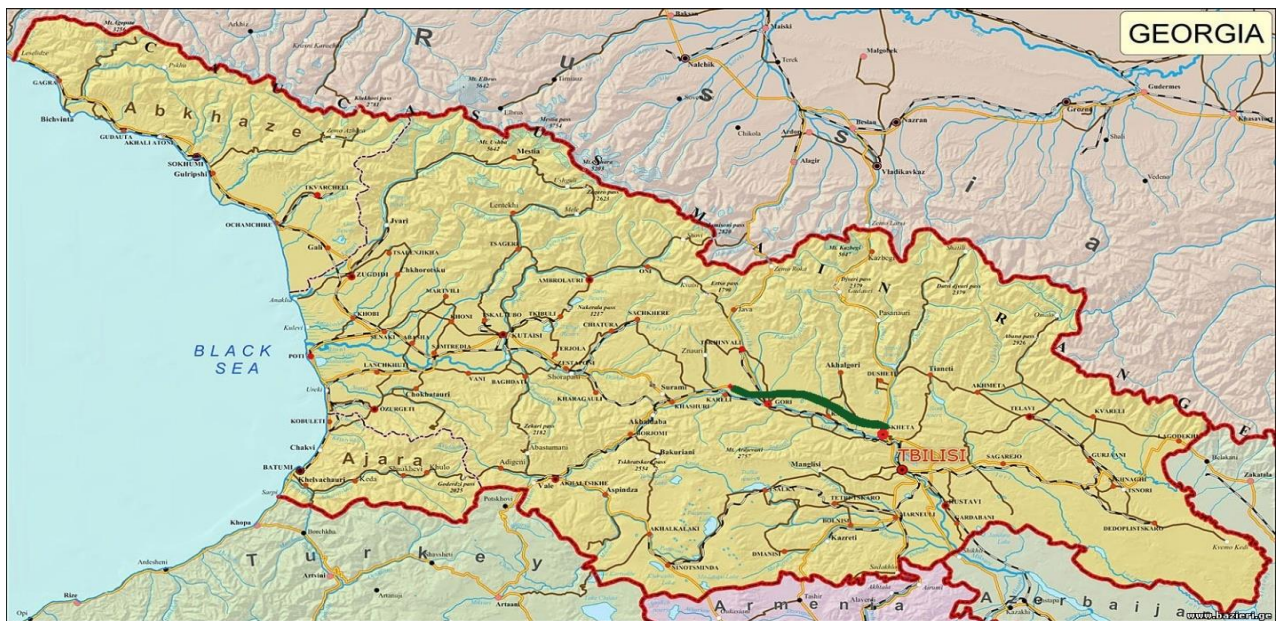
ამ მონაკვეთებიდან სვენეთი-რუსის მონაკვეთი ყველაზე რთულია საინჟინრო კუთხით და ამავდროულად ყველაზე საინტერესო სათბურის გაზების ემისიების შემცირების პოტენციალის კუთხით, რადგან აღნიშნული მონაკვეთი მოიცავს 2 ესტაკადას (თითოეული 880 მ.) და ორ გვირაბს (800 მ.).

ძირითადი მონაცემები საკვლევი მონაკვეთი ირგვლივ წარმოდგენილ იქნა ცხრილი 4-ის სახით [14,12].

#### ცხრილი 4. საკვლევი მონაკვეთის ძირითადი მახასიათებლები

ძირითადი მონაცემები					
სახელწოდება	სიგრძე, კმ	გამტარ- უნარიანობა, ერთეული/24სთ	მოძრაობის სიჩქარე, კმ/სთ	სავალი ზოლი	საპროექტო ღირებულება, მლნ. ლარი
ნატახტარი- რუსი	69	40 000	120	4	467

ხოლო რეაბილიტირებული ნატახტარი-რუსის მონაკვეთი წარმოდგენილია ნახაზზე 7.



ნაბ. 7. ცენტრალური ავტომაგისტრალის ნატახტარი-რუისის მონაკვეთი

ნახაზებზე 7-9 წარმოდგენილია ნატახტარი-რუისის მონაკვეთის ამსახველი ფოტოკოლაჟი.



ნაბ. 8. ნატახტარი-რუისის მონაკვეთის ავტობანის მშენებლობის პროცესი.



ნახ. 9. ნატახტარი-რუისის რეაბილიტირებული მონაკვეთი.

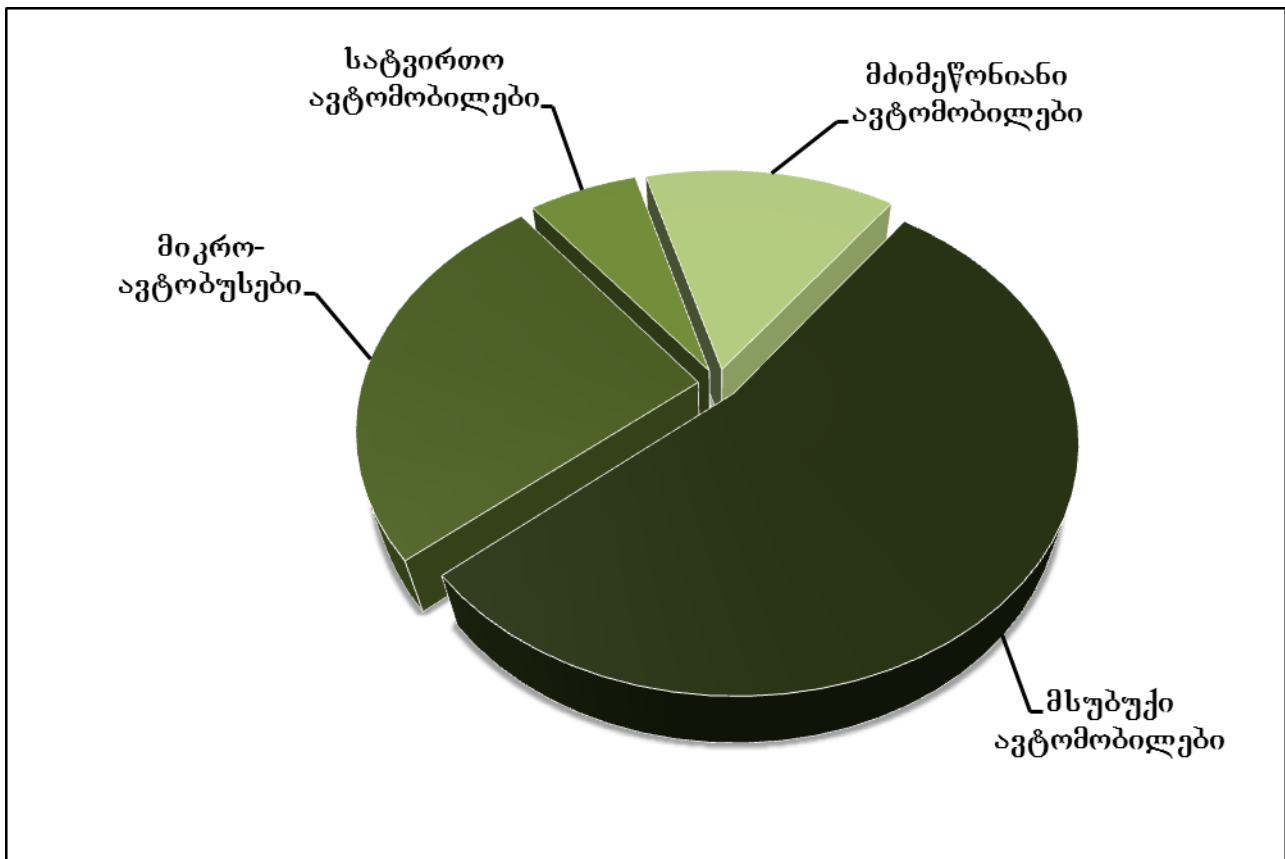


ნახ. 10. ახალი საავტომობილო გვირაბი ნატახტარი-რუისის მონაკვეთზე.

#### 4.1 ავტონაკადის ინტენსივობა რეაბილიტირებულ

## ნატანა-გვეთხე

ავტოსატრანსპორტო ნაკადის ინტენსივობის განსაზღვრისათვის ვისარგებლეთ საქართველოს ეკონომიკური განვითარების სამინისტროს სავტომობილო გზების დეპარტამენტის მასალებით. საპროექტო დოკუმენტაციაზე დაყრდნობით [3,4] მონაცემები წარმოვადგინეთ თთხი ძირითადი კატეგორიის მიხედვით: მსუბუქი ავტომობილები, მიკროავტობუსები, სათვირთო ავტომობილები და მძიმეწონიანი ავტომობილები. შედეგები გამოვხახეთ გრაფიკულად და წარმოვადგინეთ ნახაზზე 11.



ნახაზი 11. ავტონაკადის საშუალო ჯამური ინტენსივობა (ერთეული/24სთ) თბილისი-სენაკი-ლესელიძის ავტომაგისტრალის რებილიტირებულ ნატანა-გვეთხეისის მონაცემთხე (2009-2010წწ.).

ცხრილში 5 სატრანსპორტო კატეგორიების მაჩვენებლებთან ერთად წარმოდგენილ იქნა ავტონაკადის ჯამური მონაცემები ერთეული/24სთ-ში 2009-2010წლის მონაცემებზე დაყრდნობით.

ცხრილი 5. ავტოსატრანსპორტო ნაკადის საშუალო ჯამური ინტენსივობა (ერთეული/24სთ) თბილისი-სენაკი-ლესელიძის ავტომაგისტრალის რებილიტირებულ ნატახტარი-რუისის მონაკვეთზე (2009-2010წლები).

გზის მონაკვეთი	ავტოსატრანსპორტო კატეგორიები				
	მსუბუქი ავტომობილები	მიკრო- ავტობუსები	სატვირთო ავტომობილები	მძიმეწონიანი ავტომობილები	ჯამი
ნატახტარი- რუისი	3097	1485	357	825	5764

#### 4.2. მოხმარებული საჭავალის ოდენობის განსაზღვრა

ნატახტარი-რუისის საკვლევი საავტომობილო მონაკვეთზე ავტოსატრანსპორტო ერთეულის მიერ მოხმარებული საწვავის ოდენობის განსაზღვრისათვის ჩატარდა გამოკითხვა მძღოლების იმ კატეგორიისა, რომლებიც სისტემატურად სარგებლობდნენ საავტომობილო მაგისტრალის საკვლევი მონაკვეთით. ასევე გამოვიყენეთ ავტომობილთა ტექნიკური პასპორტების მონაცემები. მიღებული მასალის დამუშავებით და შეჯერებით განსაზღვრულ იქნა ერთეულის მიერ მოხმარებული საწვავის (ბენზინი, დიზელი) ოდენობები საკვლევი ნატახტარი-რუისის 69 კმ-იანი მონაკვეთისთვის. მიღებული შედეგები ავტოსატრანსპორტო კატეგორიების მიხედვით წარმოდგენილ იქნა ცხრილში 6.

ცხრილი 6. ავტოსატრანსპორტო ერთეულის მიერ მოხმარებული საწვავის ოდენობა  
ნატახტარი-რუისის მონაკვეთისთვის (ლიტრი)

გზის მონაკვეთი	ავტოტრანსპორტის კატეგორია და საწვავის სახეობა				
	მსუბუქი ავტომობილები	მიკრო- ავტობუსები	სატვირთო ავტომობილები	მძიმეწონიანი ავტომობილები	
	ბენზინი	დიზელი	დიზელი	ბენზინი	დიზელი
ნატახტარი- რუისი	4.9	2.8	5.4	12.4	14.1
					29.8

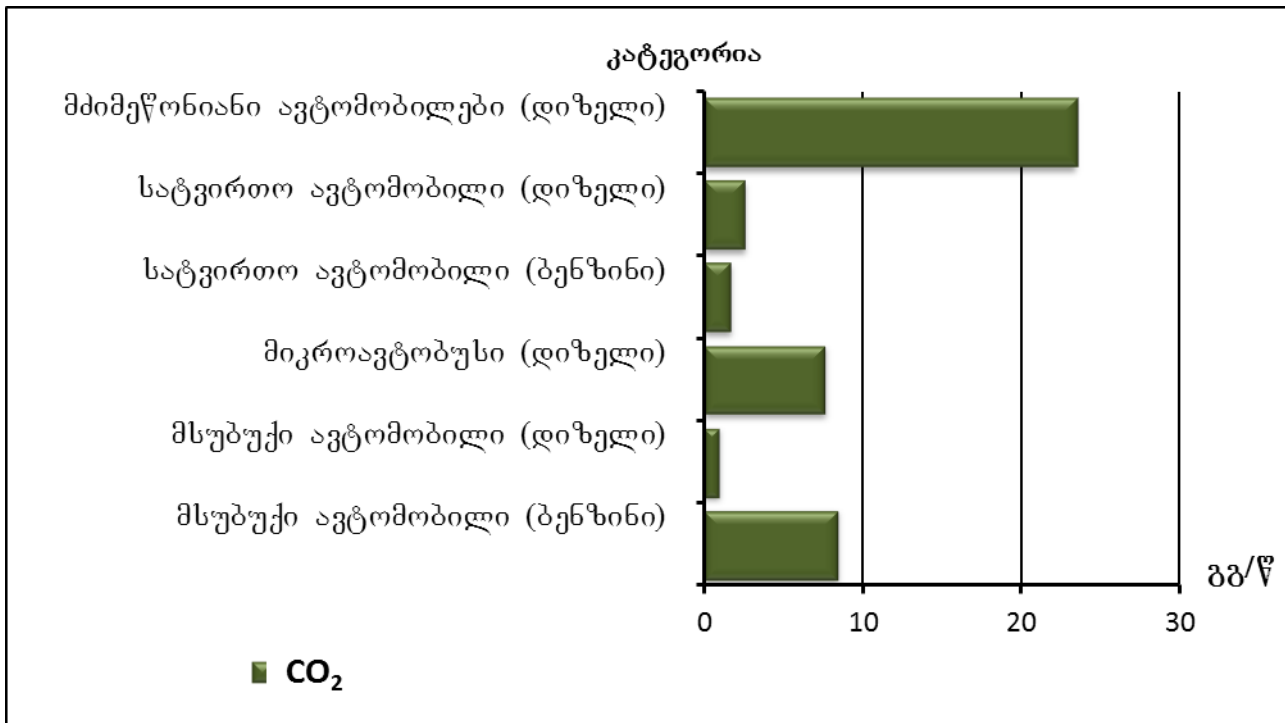
### 4.3. ძორითადი სათბურის გაზების ( $\text{CO}_2$ , $\text{N}_2\text{O}$ , და $\text{CH}_4$ ) ემისიების განსაზღვრა

ავტოსატრანსპორტო ნაკადის და მოხმარებული საწვავის მონაცემების საშუალებით ნატახტარი-რუისის მონაკვეთით სარგებლობისას შეფასდა ძირითადი სათბურის გაზების,  $\text{CO}_2$ -ის,  $\text{N}_2\text{O}$ -ს და  $\text{CH}_4$ -ის ემისიების წლის საშუალო მაჩვენებლები (ცხრილი 8).

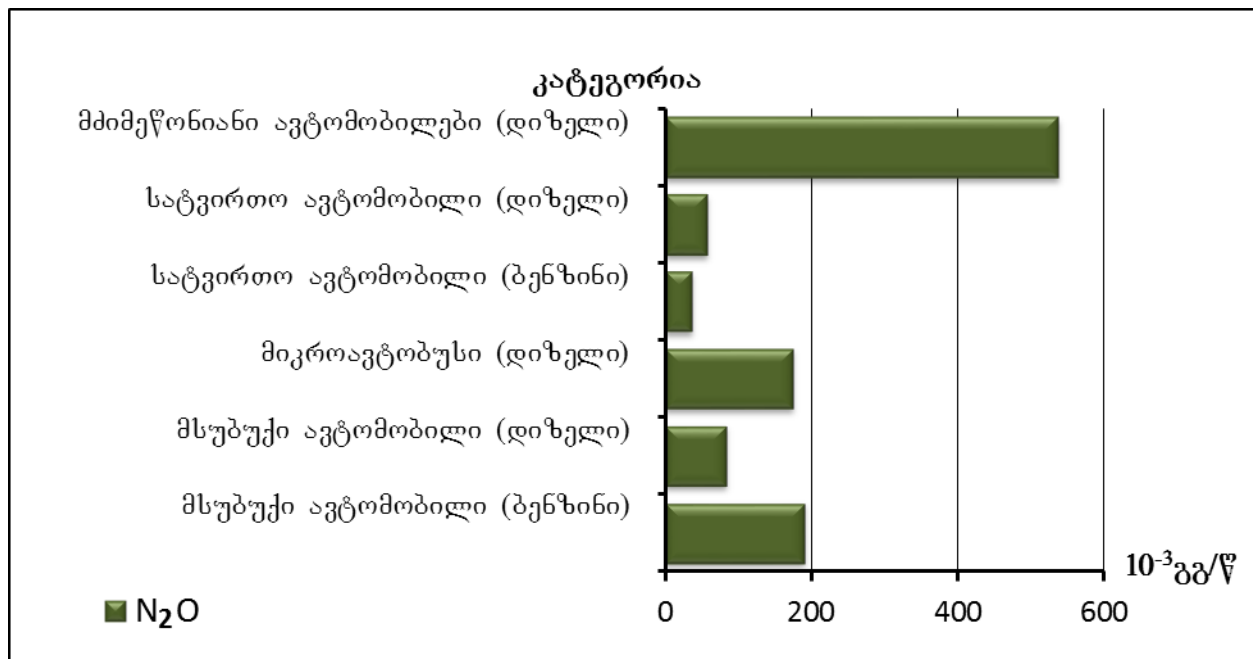
ცხრილი 8. ძირითადი სათბურის გაზების ემისიის წლის საშუალო ჯამური მაჩვენებლები ნატახტარი-რუისის მონაკვეთზე ( $10^{-3}\text{გგ}/\text{წელიწადი}$ )

სათბურის გაზები	ავტოსატრანსპორტო კატეგორიები				
	მსუბუქი ავტომობილები	მიკრო- ავტობუსები	სატვირთო ავტომობილები	მძიმეწონიანი ავტომობილები	
	ბენზინი	დიზელი	დიზელი	ბენზინი	დიზელი
$\text{CO}_2$	8443	938	7648	1662	2555
$\text{N}_2\text{O}$	191	84	175	37	58
$\text{CH}_4$	3.8	0.2	0.5	0.7	0.1
					1.7

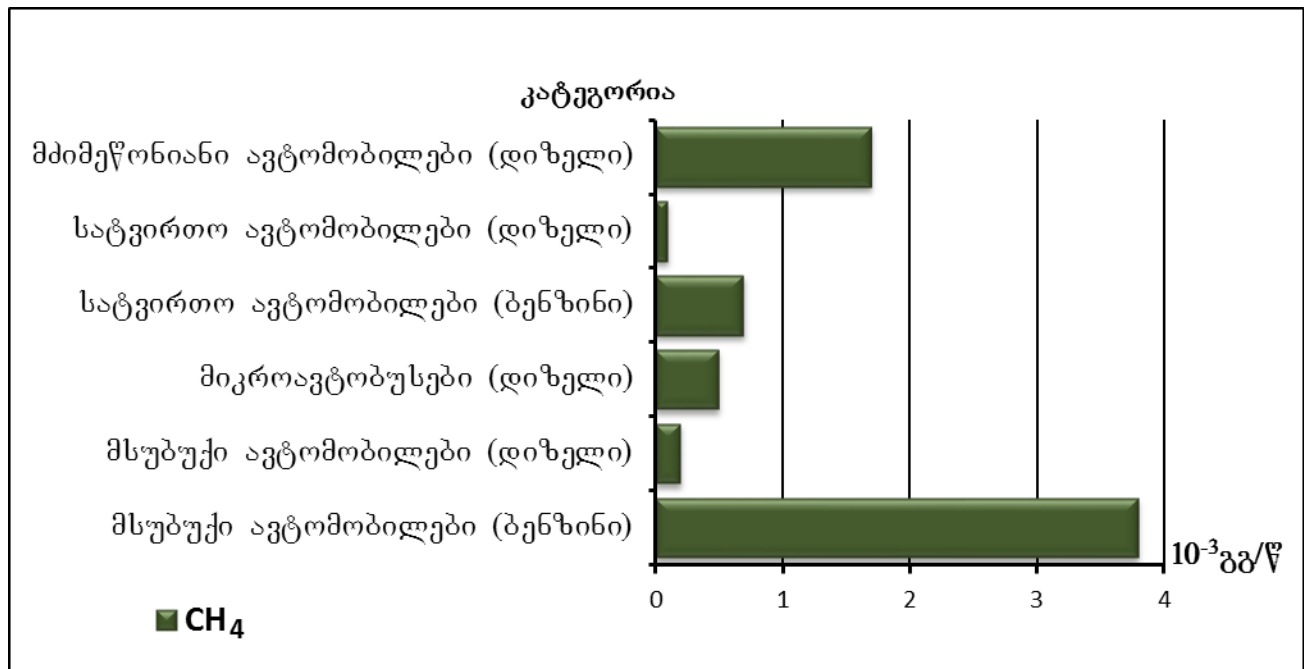
თითოეული სათბურის გაზის წლის საშუალო ჯამური მაჩვენებლები ავტოსატრანსპორტო კატეგორიებისა და მოხმარებული საწვავის სახეობის გათვალისწინებით ავაგეთ გრაფიკების სახით და წარმოვადგინეთ ნახაზებზე 12-14.



ნახ. 12. CO<sub>2</sub>-ის ემისიის წლის საშუალო ჯამური მაჩვენებლები ნატანებარი-რუისის მონაკვეთზე კატეგორიების მიხედვით (გგ/წელიწადი).

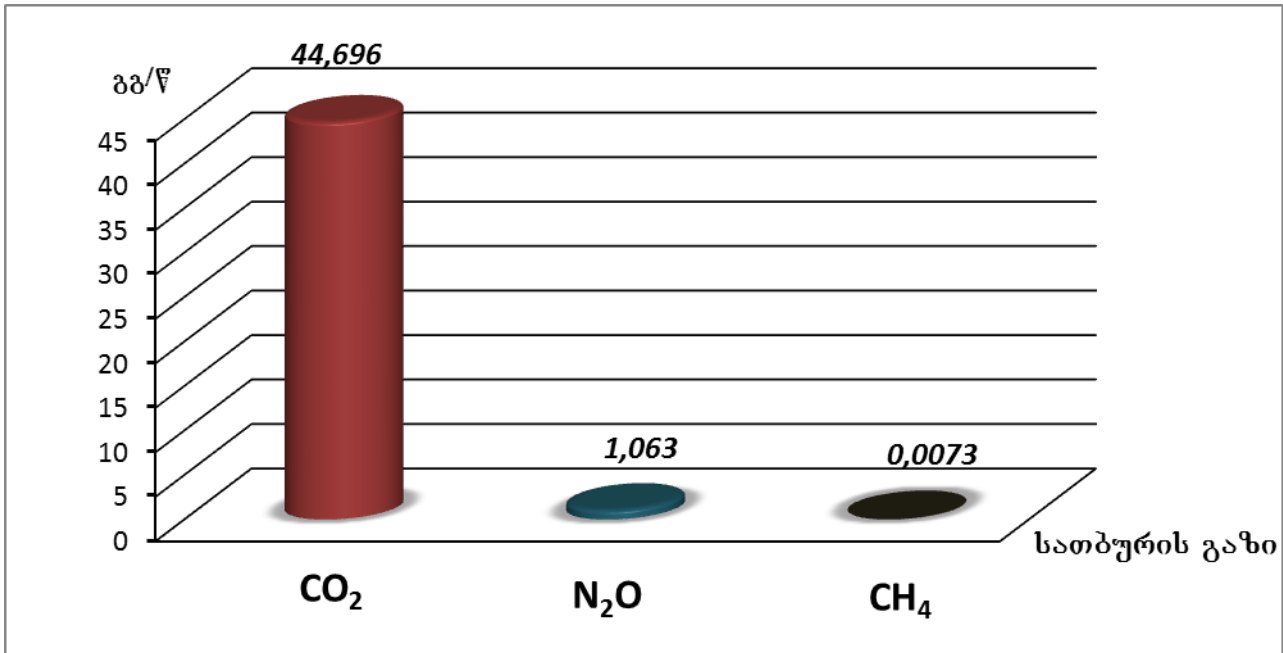


ნახ. 13.  $\text{N}_2\text{O}$ -ს ემისიის წლის საშუალო ჯამური მაჩვენებლები ნატახტარი-რუისის მონაკვეთზე კატეგორიების მიხედვით ( $10^{-3} \delta\delta/\text{წელიწადი}$ ).



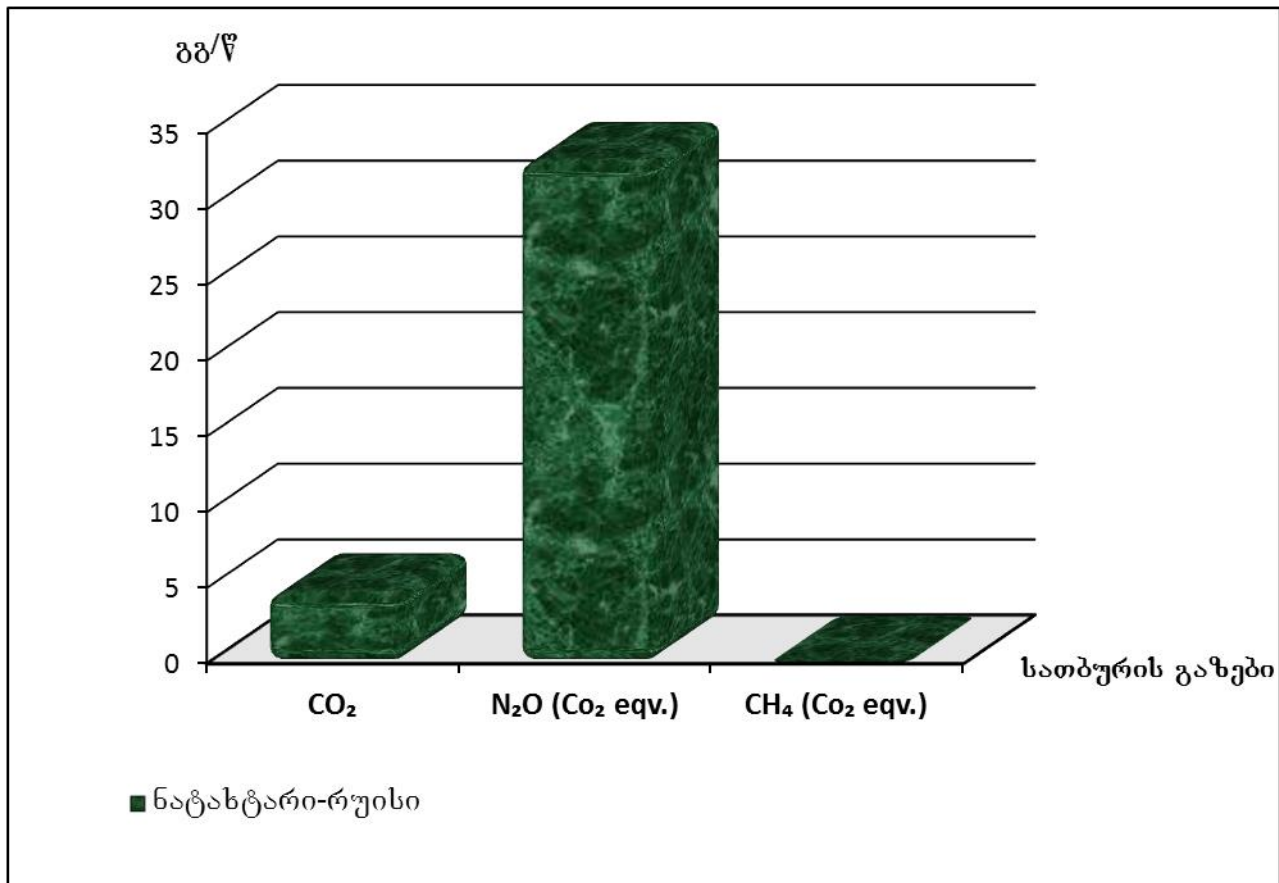
ნახ. 14.  $\text{CH}_4$ -ის ემისიის წლის საშუალო ჯამური მაჩვენებლები ნატახტარი-რუისის მონაკვეთზე კატეგორიების მიხედვით ( $10^{-3} \delta\delta/\text{წელიწადი}$ ).

ნატანარი-რუისის მონაკვეთიდან სამივე ძირითადი სათბურის გაზის ემისიების წლის საშუალო ჯამური ოდენობები წრმოვადგინეთ ნახაზზე 15.



ნახ. 15. ძირითადი სათბურის გაზების ემისიის წლის ჯამური მაჩვენებლები  
ნატანარი-რუისის მონაკვეთზე (გგ/წელიწადი).

საერთაშორისო სტანდარტების მიხედვით, როგორც მეთოდოლოგიაში განვიხილეთ სათბურის გაზების უნარის დასახასიათებელი ერთეულის - გლობალური დათბობის პოტენციალის საშუალებით სათბურის გაზები დაიყვანება  $\text{CO}_2$ -ის ექვივალენტში. ამ სტანდარტის გამოყენებით ძირითადი სათბურის გაზების მიღებული შედეგები ნატანარი-რუისის მონაკვეთისთვის წარმოვადგინეთ  $\text{CO}_2$ -ის ექვივალენტში (ნახაზი 16).



ნახ 16. სათბურის გაზების საშუალო წლიური ჯამური ემისიები CO<sub>2</sub>-ის ექვივალენტში ნატანებარი-რუისის მონაკვეთზე.

## თავი 5

### საკვლევი სარეაბილიტაციო მონაკვეთი ზესტაცონი-სამტრედია

ცხრილი 9. საკვლევი მონაკვეთის ძირითადი მახასიათებლები

სახელწოდება	სიგრძე, ჯ	მოძრაობის სიჩქარე, ჯ/სთ	საგალი ზოლი
ზესტაცონი-სამტრედია	70	70	2

სარეაბილიტაციო ზესტაცონი-სამტრედიის მონაკვეთი წარმოდგენილია ნახაზზე 17.



ნახ. 17. ცენტრალური ავტომაგისტრალის ზესტაცონი-სამტრედიის მონაკვეთი

ნახაზებზე 18-20წარმოდგენილია ფოტომასალა ზესტაცონი-სამტრედიის მონაკვეთისთვის.



ნახ. 18. ზესტაფონი-სამტრედიის სარეაბილიტაციო მონაკვეთი.



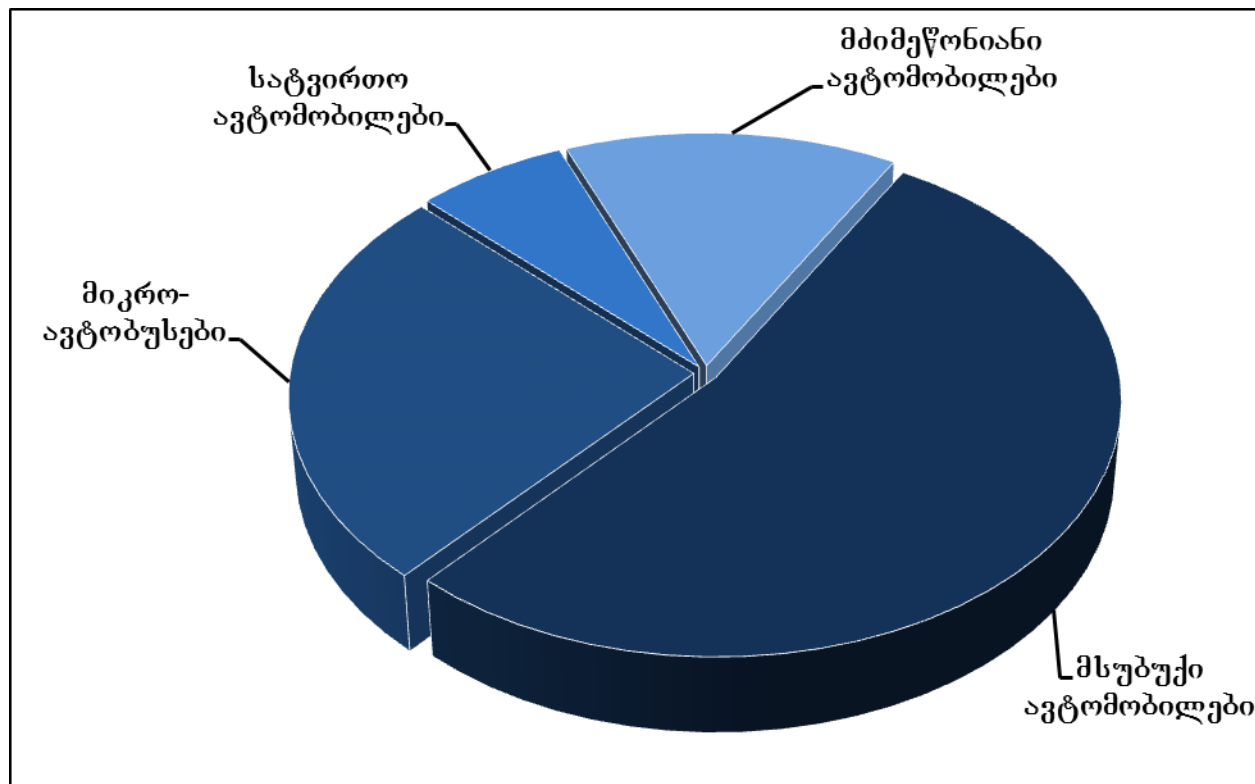
ნახ. 19. ზესტაფონი-სამტრედიის სარეაბილიტაციო მონაკვეთი



ჩახ. 20. ზესტაფონი-სამტრედიის სარეაბილიტაციო მონაკვეთი.

### 5.1 ავტონაგადის ინტენსივობა სარეაბილიტაციო ზესტაფონი-სამტრედიის მონაკვეთზე

ზესტაფონი-სამტრედიის მონაკვეთზე ავტოსატრანსპორტო ნაკადის ინტენსივობის განსაზღვრისათვის ვისარგებლეთ საქართველოს ეკონომიკური განვითარების სამინისტროს საავტომობილო გზების დეპარტამენტის მასალებით. საპროექტო დოკუმენტაციაზე დაყრდნობით [9] მონაცემები წარმოვადგინეთ ოთხი ძირითადი კატეგორიის მიხედვით: მსუბუქი ავტომობილები, მიკროავტობუსები, სათვირთო ავტომობილები და მძიმეწონიანი ავტომობილები. შედეგები წარმოდგენილ იქნა ნახაზზე 21 გრაფიკის სახით.



ნახაზი 21. ავტოსატრანსპორტო ნაკადის საშუალო ჯამური ინტენსივობა (ერთეული/24სთ) თბილისი-სენაკი-ლესელიძის ავტომაგისტრალის სარებილიტაციო ზესტაფონი-სამტრედიის მონაკვეთზე (2009-2010წწ.).

ცხრილში 10 სატრანსპორტო კატეგორიების მაჩვენებლებთან ერთად წარმოდგენილ იქნა ავტონაკადის ჯამური მაჩვენებლები ერთეული/24სთ-ში 2009-2010წწის მონაცემებზე დაყრდნობით.

ცხრილი 10. ავტონაკადის ინტენსივობა (ერთეული/24სთ) თბილისი-სენაკი-ლესელიძის ავტომაგისტრალის ზესტაფონი-სამტრედიის მონაკვეთზე (2007-2010წწ)

გზის მონაკვეთი	ავტოსატრანსპორტო კატეგორიები				
	მსუბუქი ავტომობილები	მიკრო- ავტობუსები	სატვირთო ავტომობილები	მძიმეწონიანი ავტომობილები	ჯამი
ზესტაფონი- სამტრედია	3128	1503	387	849	5867

## 5.2. მოხმარებული საწვავის ოდენობის განსაზღვრა

საკვლევ საავტომობილო მონაკვეთზე ავტოსატრანსპორტო ერთეულის მიერ მოხმარებული საწვავის ოდენობის განსაზღვრისათვის მსგავსაბრეაბილი მონაკვეთისა, ამ მონაკვეთისთვისაც ჩატარდა გამოკითხვა მძღოლების იმ კატეგორიისა, რომლებიც სისტემატურად სარგებლობდნენ საავტომობილო მაგისტრალის საკვლევი მონაკვეთით. ასევე გამოვიყენეთ ავტომობილთა ტექნიკური პასპორტების მონაცემები. მიღებული მასალის დამუშავებით და შეჯერებით განსაზღვრულ იქნა ერთეულის მიერ მოხმარებული საწვავის (ბენზინი, დიზელი) ოდენობები საკვლევი ზესტაფონი-სამტრედიის მონაკვეთისთვის. მიღებული შედეგები ავტოსატრანსპორტო კატეგორიების მიხედვით წარმოდგენილ იქნა ცხრილში 11.

ცხრილი 11. ავტოსატრანსპორტო ერთეულის მიერ მოხმარებული საწვავის ოდენობა ზესტაფონი-სამტრედიის მონაკვეთისთვის (ლიტრი)

გზის მონაკვეთი	ავტოტრანსპორტის კატეგორია და საწვავის სახეობა					
	მსუბუქი ავტომობილები		მიკრო- ავტობუსები		სატვირთო ავტომობილები	
	ბენზინი	დიზელი	დიზელი	ბენზინი	დიზელი	დიზელი
ზესტაფონი- სამტრედია	5.5	3.3	5.9	15.0	17.6	32.5

### 5.3. ძირითადი სათბურის გაზების ( $\text{CO}_2$ , $\text{N}_2\text{O}$ , და $\text{CH}_4$ )

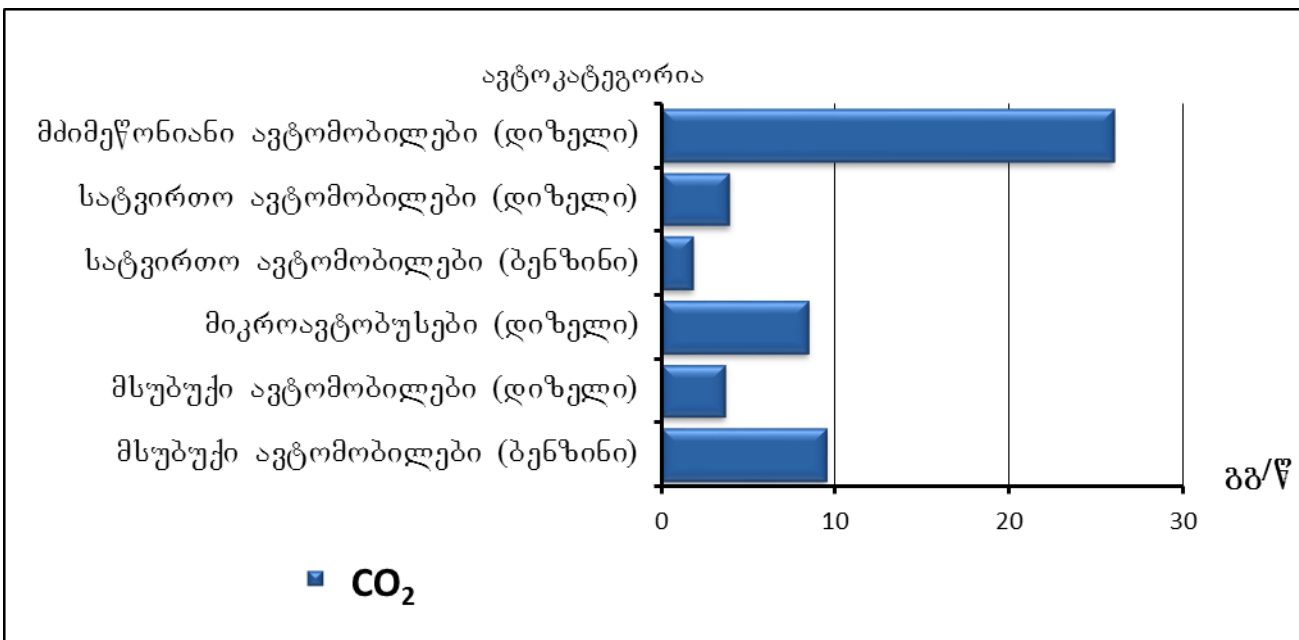
#### ემისიების განსაზღვრა

ავოსატრანსპორტო ნაკადის და მოხმარებული საწვავის მონაცემების საშუალებით ზესტაფონი-სამტრედიის მონაკვეთით სარგებლობისას შეფასდა ძირითადი სათბურის გაზების,  $\text{CO}_2$ -ის,  $\text{N}_2\text{O}$ -ს და  $\text{CH}_4$ -ის ემისიების წლის საშუალო მაჩვენებლები (ცხრილი 12).

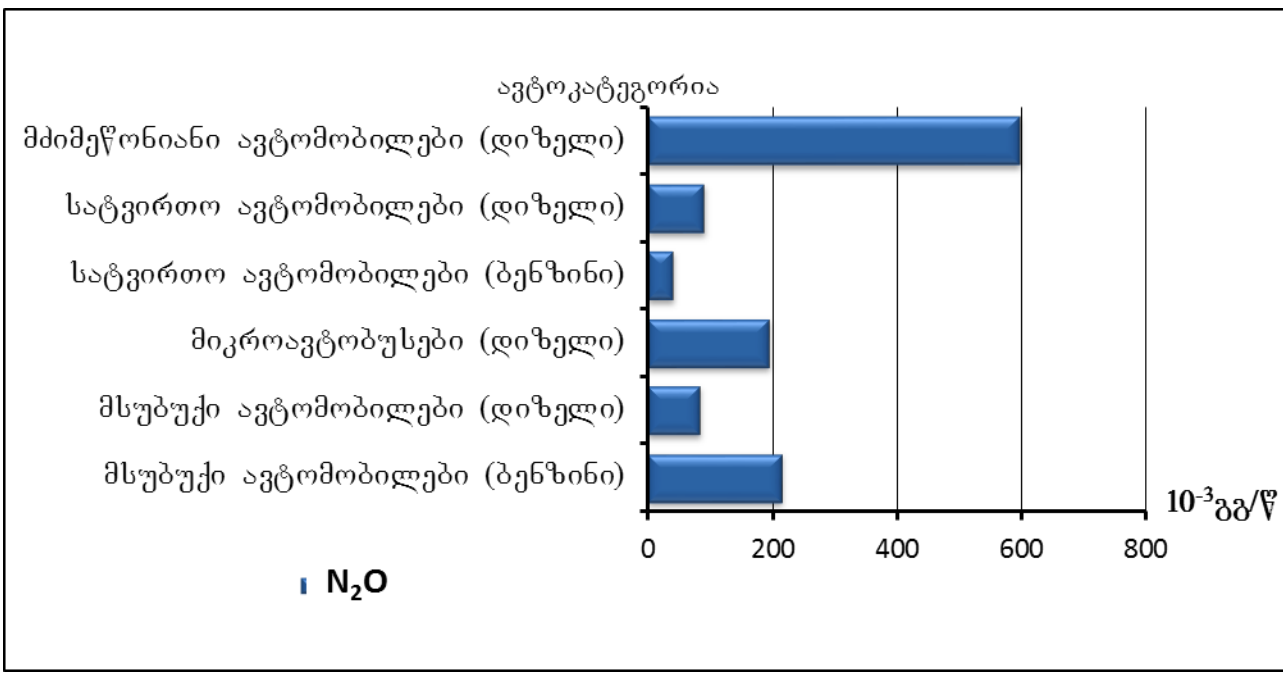
ცხრილი 12. ძირითადი სათბურის გაზების ემისიის წლის ჯამური მაჩვენებლები ზესტაფონი-სამტრედიის მონაკვეთისათვის ( $10^{-3}\text{გგ} / \text{წლიწადი}$ )

სათბურის გაზები	ავტოსატრანსპორტო კატეგორიები					
	მსუბუქი ავტომობილები		მიკრო- ავტობუსები		სატვირთო ავტომობილები	
	ბენზინი	დიზელი	დიზელი	ბენზინი	დიზელი	დიზელი
$\text{CO}_2$	9478	3671	8457	1807	3935	25986
$\text{N}_2\text{O}$	215	84	195	41	91	597
$\text{CH}_4$	4.3	0.2	6.4	0.8	0.3	1.9

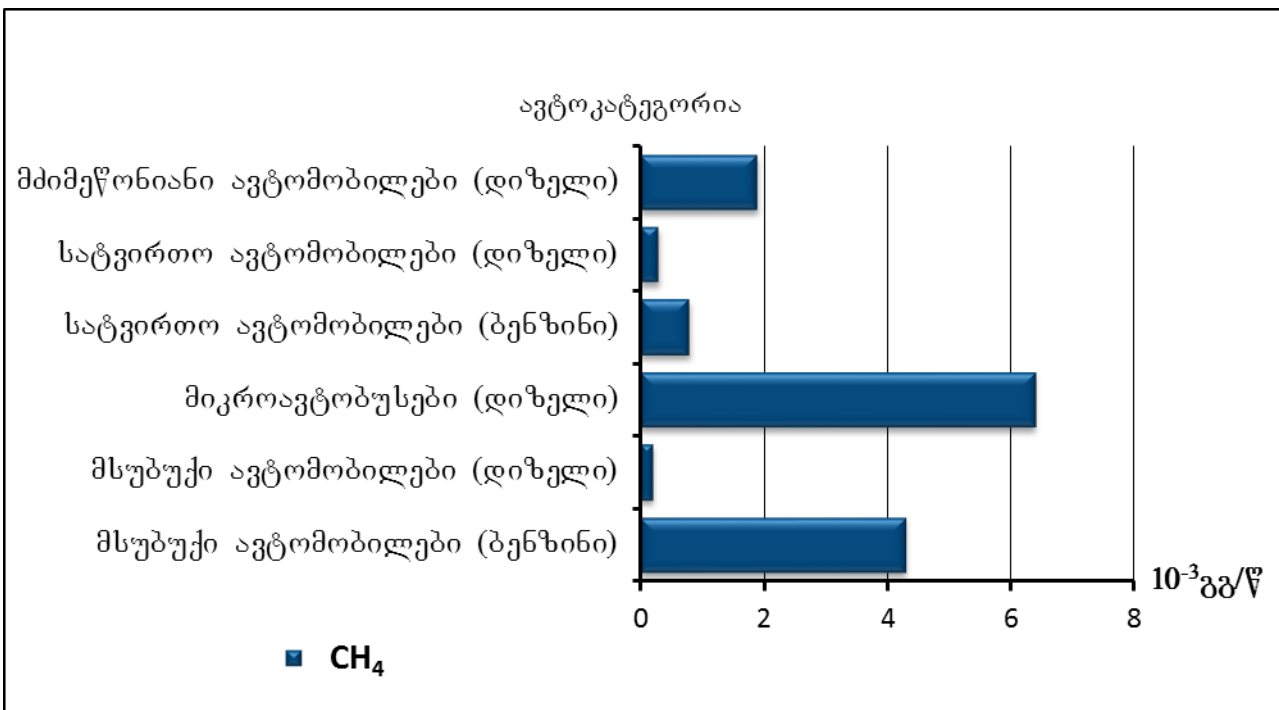
თითოეული სათბურის გაზის წლის საშუალო ჯამური მაჩვენებლები ავტოსატრანსპორტო კატეგორიებისა და მოხმარებული საწვავის სახეობის გათვალისწინებით ავაგეთ გრაფიკების სახით და წარმოვადგინეთ ნახაზებზე 22-24.



ნახ. 22. CO<sub>2</sub>-ს ემისიის წლის საშუალო ჯამური მაჩვენებლები ზესტაფონისამგრედის მონაკვეთზე კატეგორიების მიხედვით (გგ/წელიწადი).

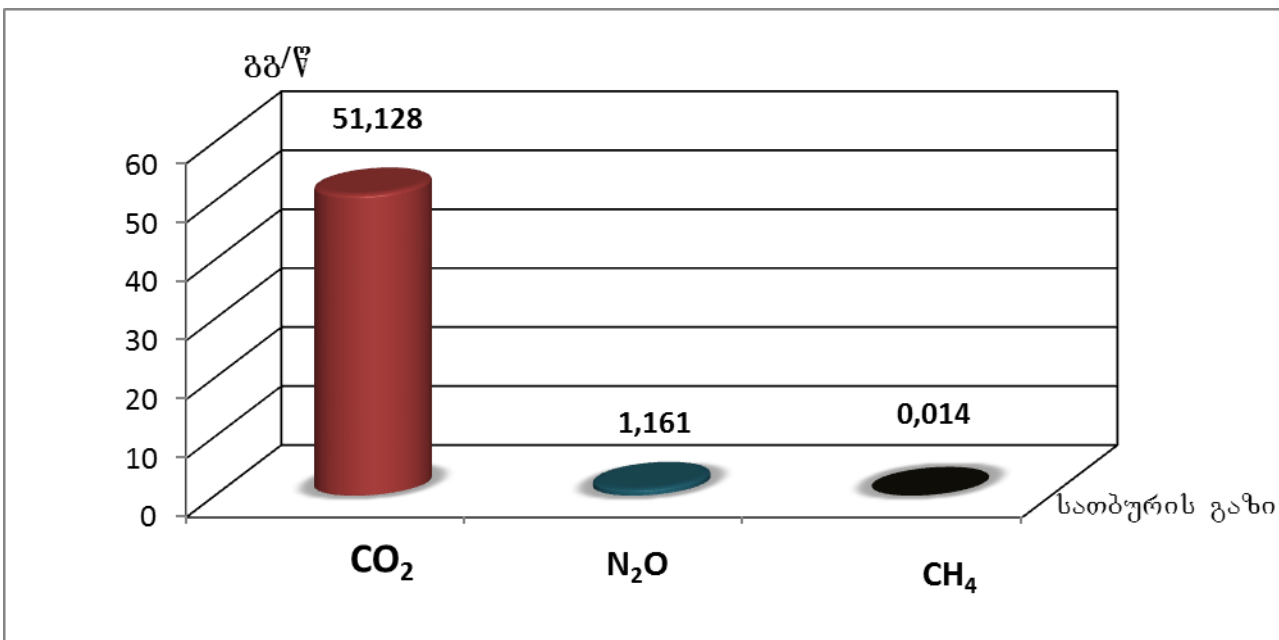


ნახ. 23. N<sub>2</sub>O-ს ემისიის წლის საშუალო ჯამური მაჩვენებლები ზესტაფონისამგრედის მონაკვეთზე კატეგორიების მიხედვით ( $10^{-3}$  გგ/წელიწადი).



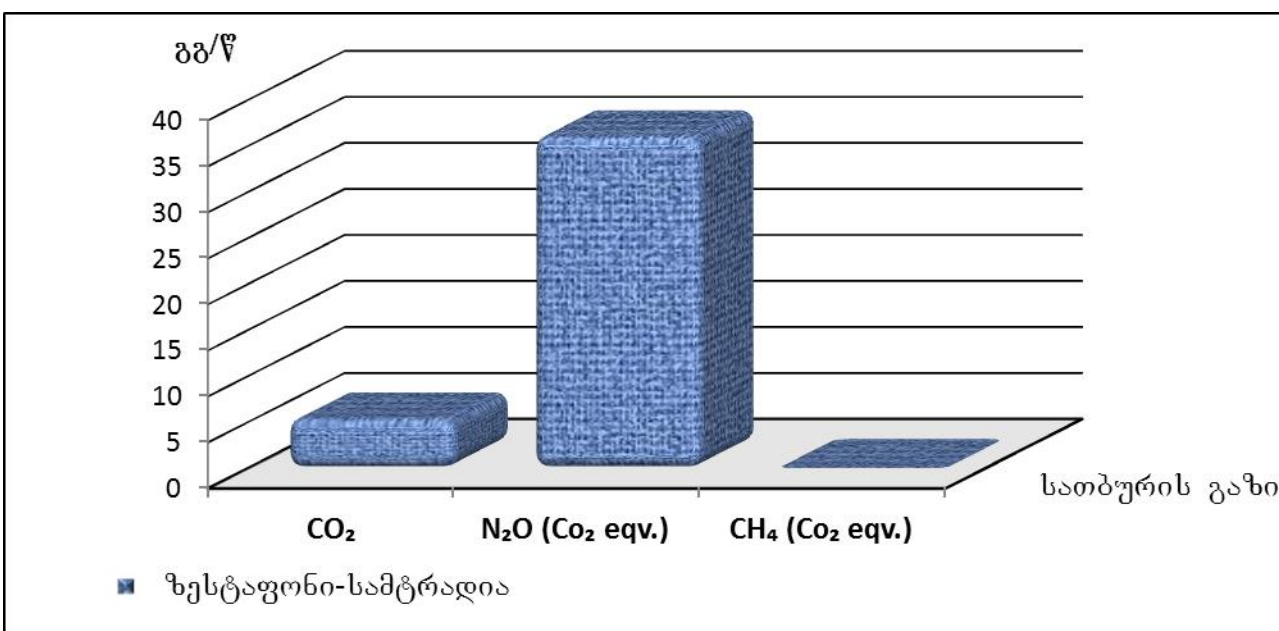
ნახ. 24. CH<sub>4</sub>-ის ემისიის წლის საშუალო ჯამური მაჩვენებლები ზესტაფონი-სამტრედიის მონაკვეთზე კატეგორიების მიხედვით ( $10^{-3}\text{გგ}/\text{წელიწადი}$ ).

ზესტაფონი-სამტრედიის მონაკვეთიდან სამივე ძირითადი საობურის გაზის ემისიების წლის საშუალო ჯამური ოდენობები წრმოდგენილია ნახაზზე 25.



ნახ. 25. ძირითადი საობურის გაზების ემისიის წლის ჯამური მაჩვენებლები ზესტაფონი-სამტრედიის მონაკვეთზე (გგ/წელიწადი).

საკვლევი ზესტაფონი-სამტრედიის მონაკვეთისთვის ემისის წლიური საშუალო მნიშვნელობები წარმოდგენილია  $\text{CO}_2$ -ის ექვივალენტი (ნახაზი 26).

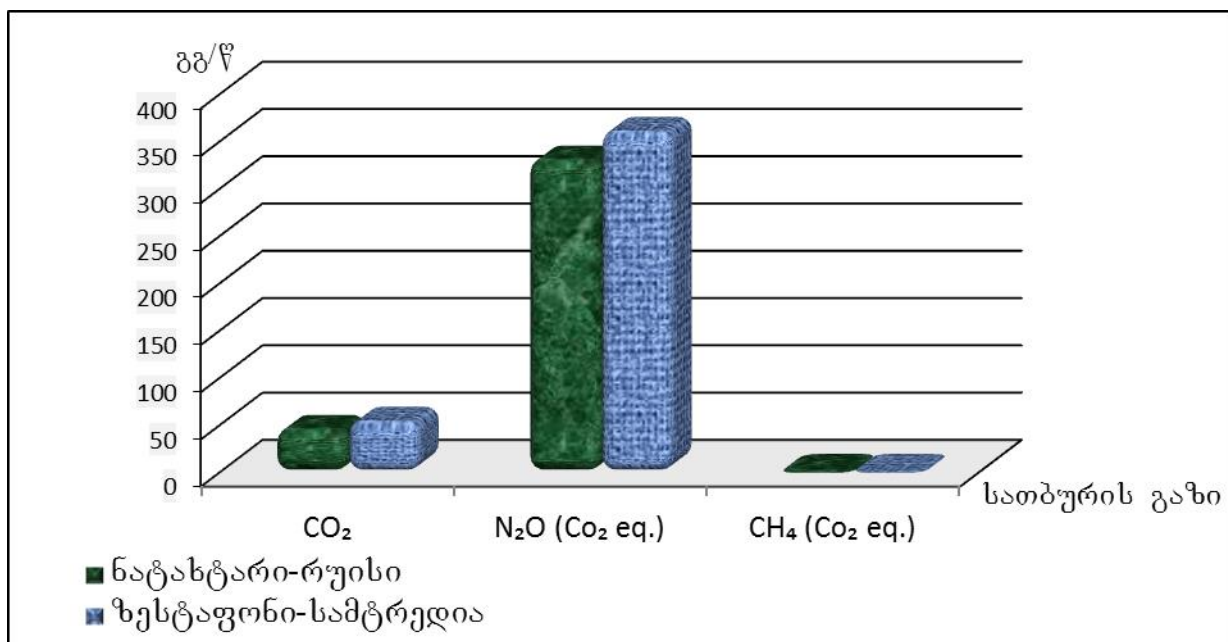


ნახ. 26. საობურის გაზების საშუალო წლიური ჯამური ემისიები  $\text{CO}_2$ -ის ექვივალენტი ზესტაფონი-სამტრედიის მონაკვეთზე.

## თავი 6.

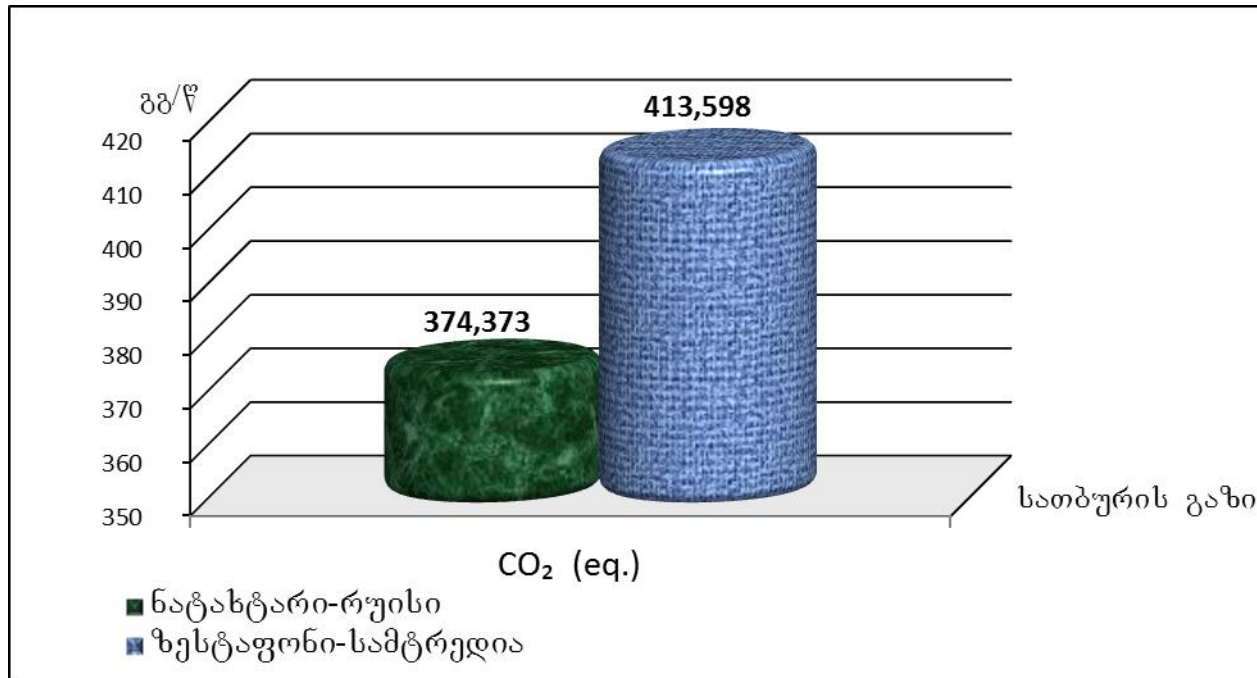
### სათბურის გაზების ემისიის შემცირების კოტენციალის განსაზღვრა

მიღებული შედეგების საფუძველზე ნახაზზე 27 წარმოდგენილ იქნა საკვლევ რეაბილიტირებულ და სარეაბილიტაციო მონაკვეთებზე თითოეული სათბურის გაზის  $\text{CO}_2$ ,  $\text{N}_2\text{O}$ , და  $\text{CH}_4$ -ის ემისიების საშუალო წლიური ჯამური ოდენობები  $\text{CO}_2$ -ის ექვივალენტი.



ნახ 27. სათბურის გაზების ემისიის წლის საშუალო ჯამური მაჩვენებლები თბილისი-სენაკი-ლესელიძის საავტომობილო გზის ზესტაფონი-სამტრედისა და ნატანცარი რუსის მონაკვეთებზე (გგ/წ).

ხოლო, ემისიის წლის ჯამური მაჩვენებლები  $\text{CO}_2$ -ის ექვივალენტი რეაბილიტირებული ნატანცარი-რუსის და სარეაბილიტაციო ზესტაფონი-სამტრედის მონაკვეთებისთვის მოყვანილ იქნა ნახაზზე 28.



ნახ. 28. სათბურის გაზების ემისიის წლის საშუალო ჯამური მაჩვენებლები CO<sub>2</sub>-ის ექვივალენტში ზესტაფონი-სამტრედიისა და ნატახტარი რუისის მონაკვეთებზე (გგ/წ).

ცენტრალურ ავტომაგისტრალზე საკვლევი რეაბილიტირებული და სარეაბილიტაციო მონაკვეთებიდან ემიტირებილი სათბურის გაზების შედარება გვიჩვენებს, რომ ემისიის სხვაობა განხილულ მონაკვეთებს შორის შეადგენს 39გგCO<sub>2</sub>ექ/წელიწადში, რაც არარეაბილიტირებული მონაკვეთიდან საშუალო წლიური ემისიის 9.5% შეადგენს.

სათბურის გაზების ემისიების შემცირების ზემოთ მოყვანილ შეფასებებს თან სდევს გარკვეული ცდომოლება, რომელიც სამი მდგრენელისაგან შედგება. ესენია:

- ავტოსატრანსპორტო ნაკადის სიმკვრივის განსაზღვრის ცდომილება.
- მოხმარებული და დაზოგილი საწვავის შეფასების ცდომილება.
- ემისიის ფაქტორების გამოყენების ცდომილება.

ნაშრომში განხილული საავტომობილო მინაკვეთებისთვის ამ მდგრენელების რიცხვითი მნიშვნელობები საორიენტაციოდ შეიძლება შეფასდეს შემდეგი სიდიდეებით [1]

ცხრილი 13. საქვლევი საავტომობილო გზით სარგებლობის შედეგად ავტოტრანსპორტიდან სათბურის გაზების ემისიის შემცირების შეფასებათა ფარდობითი ცდომილების (%) საორიენტაციო სიდიდეები

მისიის განსაზღვრის ცდომილების მდგენელი, %			
ავტოსატრანსპორტო ნაკადის სიმკვრივე	მოხმარებული და დაზოგილი საწვავი	ემისიის ფაქტორი	მისიის ჯამური შემცირება
5	10	10	25

## დასპენები

საქართველოში ცენტრალური ავტომაგისტრალის თბილისი-სენაკი-ლესელიძის რეკონსტრუქციის პირობებში ჩატარდა კვლევა ეკოლოგიური ეფექტურობის პოტენციალის შესაფასებლად.

ჩატარებული კვლევები და შესაბამისი შედეგები შესაძლებელს ხდის დავასკვნათ, რომ:

- თბილისი-სენაკი-ლესელიძის საავტომობილო მაგისტრალის ორი განხილული მონაკვეთის მონაცემები გარკვეულ შედეგებს იძლევა, რაც განპირობებულია ამ მაგისტრალზე სათბურის გაზების ემისიის ეკონომიკით საგზაო ინფრასტრუქტურის გაუმჯობესების ხარჯზე მოძრაობის ოპტიმიზაციის შედეგად.
- შერჩეული საკვლევი მონაკვეთები არ გამოირჩევა დიდი სირთულის მქონე გეოგრაფიული პირობებით, თუმცა უნდა აღინიშნოს, რომ საკვლევი ცენტრალური ავტომაგისტრალი მოიცავს რიკოთის საუდელტეხილო მონაკვეთს. საპროექტო დოკუმენტაციის თანახმად ამ ეტაპისთვის საუდელტეხილო მონაკვეთის (გარდა გვირაბისა) რეკონსტრუქცია ჯერ არ იგეგმება, თუმცა უნდა აღინიშნოს, რომ საუდელტეხილო მონაკვეთის რეკონსტრუქციის შემდეგ ჩვენი კვლევებით მიღებული სათბურის გაზების შემცირების რაოდენობრივი მაჩვენებელი მნიშვნელოვნად გაიზრდება.
- საავტომობილო გზების მახასიათებლები 60-80%-ით განსაზღვრავენ ეკოლოგიურ ეფექტურობას, ამიტომ ცენტრალური ავტომაგისტრალის მოდერნიზაცია მნიშვნელოვანი ნაბიჯია სათბურის გაზების შემცირების დონისძიებათა შორის.
- საკვლევი ცენტრალური ავტომაგისტრალი გარდა იმისა, რომ ქვეყნის მთავარ სატრანსპორტო არტერიაა, იგი წარმოადგენს ტრანსსასაზღვრო სატრანსპორტო დერეფანს. ბუნებრივია მოდერნიზებული ავტობანი გამართული იმფრასტრუქტურით გამოიწვევს ავტოსატრანსპორტო ნაკადის ინტენსივობის ზრდას და შესაბამისად

შემცირებული საობურის გაზების ჩვენს მიერ მიღებული შედეგები მნიშვნელოვნად გაიზრდება.

- ჩატარებული კვლევები და შესაბამისი შედეგები შესაძლებელს ხდის დავასკვნათ, რომ საქართველოში ცენტრალური საავტომობილო მაგისტრალზე მიმდინარე სარეკონსტრუქციო სამუშაოები მცირვ, გარკვეულ დადებით გავლენას ახდენს ქვეყნის ეკოლოგიურ მაჩვენებლებზე.

## გამოყენებული ლიტერატურა

1. ბეგლარაშვილი ნ. საქართველოში საავტომობილო გვირაბების ეკოლოგიური ეფექტურობის შეფასება. ჰმი-ს გამომცემლობა, 2009, 68გვ.
2. ბერიტაშვილი ბ., შვანგირაძე მ. სათბურის გაზების შემცირების პოტენციალი საქართველოს მრეწველობისა და ენერგეტიკის სფეროში. იდრომეტეოროლოგიის ინსტიტუტი, 2002, №108, გვ.209-221.
3. ობილისი-სენაკი-ლესელიძის საავტომობილო მაგისტრალის აღაიანი-იგოეთის მონაკვეთის ბუნებრივ და სოციალურ გარემოზე ზემოქმედების შეფასება. საავტომობიკლო გზების დეპარტამენტი, ობილისი, 2006.
4. ობილისი-სენაკი-ლესელიძის საავტომობილო მაგისტრალის სვენეთი-რუსის მონაკვეთის ბუნებრივ და სოციალურ გარემოზე ზემოქმედების შეფასება. საავტომობიკლო გზების დეპარტამენტი, ობილისი, 2007
5. საობრის გაზების ეროვნული ინვენტარიზაცია. გაეროს განვითარების პროგრამა/გლობალური გარემოს დაცვის ფონდი. ობილისი, 2008. გვ3-35.
6. საობრის გაზების ეროვნული ინვენტარიზაცია. საქართველოს მეორე ეროვნული შეტყობინება კლიმატის ცვლილების ჩარჩო-კონვენციისთვე, ობილისი, 2009.
7. მჭედლიშვილი კ., ბურდულაძე ა., გელაშვილი ო., არჩვაძე გ. საავტომობილო გზები. საქართველოს ტექნიკური უნივერსიტეტი, ობილისი 2009.
8. შვანგირაძე მ. კლიმატის ცვლილების კონვენცია და კიოტოს პროტოკოლი საქართველოს ეკონომიკის მდგრადი განვითარების ერთ-ერთი ინსტრუმენტი. UNEP, GFSIS, MEPRS of Georgia, ობილისი, 2006.
9. E-60 ავტომაგისტრალის ზესტაფონი-ქუთაისი-სამტრედიის მონაკვეთის რეკონსტრუქციის პროექტი/ბუნებრივ და სოციალურ გარემოზე ზემოქმედება და ალტერნატივების ანალიზი. საავტომობილო გზების დეპარტამენტი. 2009.
10. Greenhouse Gas Inventory Reporting Instruction. IPCC Guidelines for National Greenhouse Gas Inventories, 1996. pp.1.72-1.75.
11. IPCC Guidelines for National Greenhouse Gas Inventories, Volume 2. Energy. 2006, pp.3.10-3.32
12. <http://www.georoad.ge/?que=geo/home&info=93>

13. <http://www.ipcc-nrgip.iges.or.jp/public/2006gl/vol2.html>
14. [http://www.regions.ge/3&newsid=1754&year=2009&position=news\\_main](http://www.regions.ge/3&newsid=1754&year=2009&position=news_main)
15. <http://www.unfccc.int>